



Evaluating the Efficiency of Airline Companies with the Goal of Reducing the Potential for Global Warming Using a Robust Two-Stage Data Envelopment Analysis Method with Unfavorable Output

Farhad Sanchooli¹, Seyed Ismail Najafi^{2*}, Farhad Hosseinzadeh Lotfi³

1- Department of Industrial Engineering, Science and Research Unit, Islamic Azad University, Tehran, Iran.
E-mail: fsanchooli@gmail.com

2- Department of Industrial Engineering, Science and Research Unit, Islamic Azad University, Tehran, Iran.
(Corresponding Author) E-mail: najafi1515@yahoo.com

3- Department of Mathematics, Science and Research Unit, Islamic Azad University, Tehran, Iran.
E-mail: farhad@hosseinzadeh.ir

Article Info	Abstract
Article type: Research Article	The aviation industry is expanding rapidly around the world, and the efficiency of airlines has been of interest since the industry's inception. Nonetheless, despite increased revenue, the aviation industry has contributed to environmental degradation in recent years. As a result, this industry requires businesses that reduce their environmental impact while increasing their profits. With this topic in mind, a two-stage robust data envelopment analysis model with unfavorable output is presented to evaluate the performance of airline companies according to their internal structure with the aim of increasing the final revenue of the system and reducing the unfavorable output of global warming potential and uncertainty in the warming potential. The purpose of this article is to assess the efficiency of 11 airlines during the years 2010 to 2019. Through these models, it was concluded that most of the United States airlines are relatively efficient and their average overall efficiency score is above 0.8. Only two companies, Spirit and Allegiant, have a lower average total efficiency. On the other hand, all the companies in the first stage are relatively efficient and have an average efficiency score above 0.8, and except for the two companies Spirit and Allegiant, they are also efficient in the flight sector and have an average above 0.9. The overall performance of companies is more affected by the performance of their flight department.
Article history: Received: 2023/10/10 Acceptance: 2024/03/03 Published online: 2024/05/22	
Key words: Airlines, Operational Efficiency, Robust Two-Stage Data Envelopment Analysis, Global Warming Potential.	

Cite this article: Sanchooli, F., Najafi, S., & Hosseinzadeh Lotfi, F. (2024). Evaluating the Efficiency of Airline Companies with the Goal of Reducing the Potential for Global Warming Using a Robust Two-Stage Data Envelopment Analysis Method with Unfavorable Output .*Green Management*, 4(1), 91-117.

Publisher: Islamic Azad University, Aliabad Katoul Branch.

ISSN: 2821-0050

ارزیابی کارایی شرکت‌های هوایپمایی با هدف کاهش پتانسیل گرمایش جهانی با روش تحلیل پوششی

داده‌های دومرحله‌ای استوار با خروجی نامطلوب

فرهاد سنچولی^۱، سیداسماعیل نجفی^{۲*}، فرهاد حسین‌زاده لطفی^۳

- ۱- گروه مهندسی صنایع، واحد علوم و تحقیقات، دانشگاه آزاد اسلامی، تهران، ایران. رایانمه: fsanchooli@gmail.com
- ۲- گروه مهندسی صنایع، واحد علوم و تحقیقات، دانشگاه آزاد اسلامی، تهران، ایران. (نویسنده مسئول) رایانمه: najafi1515@yahoo.com
- ۳- گروه ریاضی، واحد علوم و تحقیقات، دانشگاه آزاد اسلامی، تهران، ایران. رایانمه: farhad@hosseinzadeh.ir

اطلاعات مقاله	چکیده
نوع مقاله:	مقاله پژوهشی
تاریخ دریافت:	۱۴۰۲/۰۷/۱۸
تاریخ پذیرش:	۱۴۰۲/۱۲/۱۳
تاریخ انتشار:	۱۴۰۳/۰۳/۰۲
کلمات کلیدی:	خطوط هوایپمایی، کارایی عملیاتی، تحلیل پوششی داده‌های دومرحله‌ای استوار، پتانسیل گرمایش جهانی.
استناد:	سنچولی، فرهاد؛ نجفی، سیداسماعیل؛ و حسین‌زاده لطفی، فرهاد (۱۴۰۳). ارزیابی کارایی شرکت‌های هوایپمایی با هدف کاهش پتانسیل گرمایش جهانی با روش تحلیل پوششی داده‌های دومرحله‌ای استوار با خروجی نامطلوب. مدیریت سبز، ۴(۱)، ۹۱-۱۱۷.
شاپا الکترونیکی:	۲۸۲۱-۰۰۵۰

مقدمه

صنعت هوانوردی با بهبود استانداردهای زندگی و افزایش تجارت اقتصادی بین مناطق به سرعت توسعه یافته است. انتظار می‌رود گرددش مالی جهانی مسافر از ۸,۶۸ تریلیون در سال ۲۰۱۹ به ۲۰ تریلیون در سال ۲۰۵۰ افزایش یابد و سالانه ۳ درصد رشد کند در حالی که تقاضای محموله‌های هوایی بین‌المللی در سال ۲۰۱۹ حدود ۹,۶ درصد افزایش یافته است. اما موضوع انتشار کربن هوانوردی توجه جامعه را بیشتر و بیشتر به خود جلب کرده است. صنعت حمل و نقل یک صنعت انرژی بر در سطح جهان است، که بیش از هر بخش دیگری، به جز صنایع شیمیایی، گازهای گلخانه‌ای منتشر می‌کند. این در حالی است که مصرف انرژی در صنعت هوانوردی سالانه ۶ درصد افزایش می‌یابد. با افزایش مصرف انرژی، آلودگی زیست محیطی نیز افزایش یافته است. داده‌های منتشر شده توسط انجمن بین‌المللی حمل و نقل هوایی^۱ (IATA) نشان می‌دهد که انتشار کربن در بخش صنعت هوایی^۲ ۲,۴ درصد از کل ۳۷,۵ میلیارد تن در سال ۲۰۱۸ را تشکیل می‌دهد که باعث تخریب محیط‌زیست شده است. براساس پیش‌بینی سازمان بین‌المللی هوانوردی غیرنظامی^۳ (ICAO)، انتشار کربن هوانوردی در سال ۲۰۵۰، ۴ تا ۶ برابر سال ۲۰۱۰ خواهد بود. برای کاهش این وضعیت، بسیاری از استراتژی‌های دستورالعمل‌های بین‌المللی اجرا شده‌اند^۴ (لی و همکاران، ۲۰۲۲).

حمل و نقل هوایی معمولاً از خدمات مسافری و باری تشکیل شده است. حمل و نقل مسافر بخش بزرگی از اکثر شرکت‌ها را تشکیل می‌دهد و درآمد آن بسیار بیشتر از درآمد حمل و نقل محموله است. با این حال، صنعت حمل و نقل هوایی سالانه ۷۰ میلیارد دلار ارزش اقتصادی تولید می‌کند که حدود ۱۵ درصد از کل تجارت صنعت حمل و نقل هوایی را تشکیل می‌دهد. محموله هوایی ۱۰,۵ تا ۲ برابر سریع‌تر از تولید ناخالص داخلی رشد می‌کند حتی سریع‌تر از حمل و نقل هوایی مسافر. براساس گزارش IATA، درآمد حمل و نقل بار صنعت بین‌المللی هوانوردی در سال ۲۰۲۰ روند رو به رشدی را نشان داده است و با وجود آن که تحت تأثیر بیماری کووید-۱۹ قرار گرفته، نسبت به سال ۲۰۱۹ افزایش ۱۵ درصدی داشته است به طوری که بسیاری از خطوط هوایی برای افزایش درآمد، کابین مسافر خود را به کابین بار تغییر داده‌اند مانند خطوط هوایی یونایتد و لوفتهانزا. علاوه بر این، داده‌های تجربی ثابت می‌کنند که محموله هوایی به طور معناداری و مثبت با تولید ناخالص داخلی ملی همبستگی دارد و محموله هوایی سالانه تقریباً ۵۷ میلیون شغل در سراسر جهان ایجاد می‌کند. بنابراین، حمل و نقل هوایی به یک شاخص مهم برای تعیین وضعیت یک شرکت با توسعه سریع آن تبدیل می‌شود. در نتیجه بررسی آن

1-International Air Transport Association
2-International Civil Aviation Organization

ضروری است. حدود ۵۵ درصد از اقلام حمل و نقل هوایی در هواپیماهای مسافربری قرار می‌گیرند، بنابراین سیستم‌های مسافری و باری در

عملیات روزانه مخلوط می‌شوند (جانگ و همکاران، ۲۰۱۳).

حمل و نقل مسافر و بار اقلام اصلی درآمد این کسب‌وکار هستند، هرچند مجموع درآمد مسافر و بار سهم قابل توجهی از کل درآمد

شرکت‌ها را تشکیل می‌دهد اما مجموع این دو برابر ۱۰۰ درصد نیست. خطوط هوایی دارای زیرسیستم‌های درآمدزای دیگری مانند کسب-

و کار اجاره هواپیما، خدمات تبلیغاتی و خدمات نگهداری ناوگان هستند. با این حال، این زیرسیستم‌ها نسبت درآمد کمی دارند و منبع

درآمد اولیه شرکت‌های هواپیمایی نیستند، بنابراین ما این زیرسیستم‌ها را در نظر نمی‌گیریم.

این مقاله عملکرد شرکت‌ها حمل و نقل را به دو زیربخش سیستم پشتیبانی و سیستم پرواز تقسیم نموده است که به طور سری عمل می-

نمایند. این مدل ورودی‌های اولیه مانند تعداد هواپیما، میزان سوخت و تعداد پرسنل را به خروجی‌های نهایی درآمد مسافر، درآمد بار و

میزان پتانسیل گرمایش جهانی تبدیل می‌کند. برخلاف مطالعات قبلی، این مقاله شاخص میزان پتانسیل گرمایش جهانی برای نمایش میزان

انتشار آلدگی حاصل از عملکرد خطوط هوایی را بکار برد.

تکامل دائمی محیط عملیاتی هوانوردی باعث پیشرفت مداوم صنعت هوایی شده است. در هوانوردی تجاری، افزایش قیمت سوخت و

معرفی قوانین محدودکننده انتشار گازهای گلخانه‌ای، نیاز به یافتن روش‌های بهبوددهنده کارایی عملیاتی و زیست محیطی و اعمال

تغییرات برای بهبود این کارایی‌ها را برانگیخته است. از سوی دیگر، در سال‌های اخیر با توسعه سریع اقتصاد جهانی به دلیل جریان جهانی

شدن افراد و کالاهای، هزینه‌های انرژی خطوط هوایی و انتشار گاز CO_2 به طور قابل ملاحظه‌ای افزایش یافته است. براساس داده‌های آماری

سال IATA در سال ۲۰۱۵، کل هزینه انرژی برای خطوط هوایی در سال ۲۰۱۲ بیش از ۱۶۰ میلیارد دلار بود. علاوه بر این، حجم انتشار

CO_2 در آن زمان بیش از ۶۷۶ میلیارد تن بود که تقریباً ۲٪ از کل انتشار جهانی CO_2 است. در واقع، صنعت هوانوردی یکی از محدود

بخش‌هایی است که مصرف انرژی در آن طی ۱۰ سال گذشته بیش از ۶ درصد افزایش یافته است. در همین حال، طبق پیش‌بینی شرکت

هواپیمایی تجاری چین^۱ در سال ۲۰۱۴، برای ۲۰ سال آینده، درآمد کیلومتر مسافر (RPK) کل صنعت هوانوردی ۴۸ درصد در سال و

کل تقاضای حمل و نقل مسافر نیز ۲,۶ برابر سطح فعلی افزایش خواهد یافت. با این حال، تولید انرژی عقب مانده و در مدت مشابه کمتر از

۶ درصد افزایش خواهد یافت و لذا شکاف بین عرضه و تقاضای انرژی روز به روز آشکارتر می‌شود. بنابراین، مشکل استفاده از انرژی در

صنعت هوایپیمایی و کاهش انتشار گازهای گلخانه‌ای از طریق کاهش مصرف سوخت توجه عمومی را به خود جلب نموده است. کارایی یک شرکت هوایپیمایی تحت تأثیر همه ورودی‌ها و خروجی‌های عملیات، مدیریت کارکنان و سرمایه و مصرف منابع است. با ایجاد در گک بهتری از کارایی خطوط هوایی و بررسی رابطه آن با ردپای زیست محیطی یک شرکت هوایپیمایی، رهبری سازمانی خطوط هوایی می‌تواند از استراتژی‌های طراحی شده برای کاهش اثرات زیست محیطی و کاهش مصرف انرژی آن استفاده کند (چن و همکاران، ۲۰۱۷).

ساختمار این مقاله به شرح زیر است: پس از این مقدمه، به "بررسی ادبیات" موضوع می‌پردازیم. سپس در بخش "روش شناسی" به ارائه روشنی برای اندازه‌گیری عملکرد سیستم‌های سری دو مرحله‌ای با در نظر گرفتن ورودی‌های خارجی مرحله دوم و خروجی‌های نامطلوب پرداخته و در بخش "مطالعه موردی" رویکرد پیشنهادی را برای ۱۱ شرکت هوایپیمایی در ایالات متحده اعمال و مقادیر کارایی به دست آمداند. در نهایت بخش "نتیجه‌گیری" به بحث و بررسی نتایج حاصله و نتیجه‌گیری و بیان محدودیت‌ها خواهد پرداخت.

ادبیات نظری و پیشنهاد تحقیق

اصطلاح کارآیی یا بهره‌وری برای توصیف توانایی یک واحد تجاری برای به حداقل رساندن خروجی در عین به حداقل رساندن ورودی، استفاده می‌شود. به طور مشابه، کارایی خطوط هوایی، توانایی نسبی خطوط هوایی را برای به حداقل رساندن عملکرد خود در حالی که مصرف منابع خود را به حداقل می‌رساند، توصیف می‌کند (فرسایث و همکاران، ۱۹۸۶). مطالعات اولیه عملکرد خطوط هوایی به طور معمول فقط بر اندازه شرکت متتمرکز بودند. همان‌طور که تحقیقات در صنعت تکامل یافت، زمینه‌های تمرکز و روش‌های تحقیق مورد استفاده نیز رشد پیدا کرد. تحلیل عملکرد شرکت‌های هوایپیمایی بر حداقل کردن درآمد و استفاده از دارایی متتمرکز بود. در دنیای شرکت‌های هوایی، عملکرد با عوامل بار هوایپیما و درآمد به ازای هر مایل صندلی نشان داده می‌شود (مالیکارجون و همکاران، ۲۰۱۴).

تا جایی که می‌دانیم، تحقیقاتی که برای شناخت جنبه زیست محیطی عملیات خطوط هوایی انجام شده‌اند، اثرات زیست محیطی را به عنوان خروجی عملیات خطوط هوایی شناسایی کرده‌اند. در یک تحقیق ویژه که توسط کمیته بین‌المللی تغییرات آب و هوایی^۱ (IPCC) انجام شد، محققان نتیجه گرفتند که هوانوردی ۳,۵ درصد از انتشار CO_2 در جهان را به خود اختصاص داده است (IPCC، ۱۹۹۹). رشد مداوم صنعت هوانوردی، همراه با موانع کمی برای رشد انتشار گازها، نشان می‌دهد که حمل و نقل هوایی می‌تواند ۱۵ تا ۴۰ درصد از انتشار CO_2 جهان را تا سال ۲۰۵۰ تشکیل دهد. در تحقیقات اخیر، بومیستر^۲ و آنکیلا^۳ (۲۰۱۷) پیشنهاد کردند که یک برچسب زیست محیطی (

۱- Intergovernmental Panel on Climate Change
2-Baumeister

افشاء عمومی، که به طور خلاصه اثرات زیست محیطی آن کالا یا خدمات را قبل از خرید در دسترس مصرف کنندگان احتمالی قرار می-

دهد) باید ایجاد شود تا به مصرف کنندگان هواپیمایی شفاقت بیشتری در انتخاب خطوط هوایی خود ارائه دهد. با در نظر گرفتن تأثیر

عملیات خطوط هوایی بر محیط زیست، کوی^۲ و لی^۳ (۲۰۱۶) تحلیلی بر روی کارایی خطوط هوایی انجام دادند تا اثربخشی نسبی تبدیل

سرمایه انسانی و مادی به قابلیت درآمد و همچنین دی اکسید کربن را ارزیابی کند (سایني، ۲۰۱۸).

تحلیل پوششی داده‌ها^۴ برای اولین بار در اواسط دهه ۱۹۹۰ برای تحلیل کارایی خطوط هوایی معرفی شد. DEA یک روش تحلیل

ناپارامتریک برای ارزیابی کارایی واحدهای تصمیم‌گیری^۵، که دارای ورودی و خروجی‌های متعدد هستند، می‌باشد (سنگوپتا، ۱۹۹۹). این

روش امکان مقایسه کارآیی نسبی DMU‌ها را فراهم می‌کند و محققان را قادر می‌سازد تا یک الگو و/یا بهترین عملکرد برای تعریف مرز

کارایی بهینه آن محیط صنعتی ایجاد کنند. جنبه کلیدی DEA این است که نیازی به تبدیل مقادیر ورودی و خروجی به یک معادل مالی

یا واحد اندازه‌گیری مشترک برای ارزیابی کارایی DMU ندارد. این روش، مصرف ورودی‌ها و تولید خروجی‌ها را در مقایسه با سطوح

عملکرد بهینه فرضی ارزیابی می‌کند. سنگوپتا (۱۹۹۹) خاطر نشان می‌کند که توانایی انجام تحلیل کارایی بدون اطلاعات هزینه، DEA را

به یک انتخاب محبوب برای شرکت‌های بخش دولتی و سازمان‌های غیرانتفاعی تبدیل می‌کند. مرکت^۶ و هنشر^۷ (۲۰۱۱) تاکید می‌کنند که

این ویژگی DEA هم‌چنین آن را به یک ابزار کارآمد محبوب برای تحقیقات در هوانوردی تبدیل می‌کند - صنعتی که به ویژه به داده‌ها

حساس است. مجموعه دانش فعلی نشان می‌دهد که DEA برای مدل‌سازی و مقایسه عملیات خطوط هوایی اصلی برای ارزیابی کارایی

مفید است. چندین محقق این روش را برای تحلیل عملیات خطوط هوایی از جنبه‌های مختلف انتخاب نموده‌اند (مالی‌کارجون، ۲۰۱۵).

تحلیل کارآیی خطوط هوایی اولیه با استفاده از روش DEA بر عملیات تجاری سنتی متصرکز بود (به عنوان مثال، تبدیل سرمایه، مواد و

ورودی‌های نیروی کار به قابلیت تولید درآمد). سنگوپتا (۱۹۹۹) مطالعه‌ای را بر روی ۱۴ شرکت هواپیمایی بین‌المللی انجام داد که در آن

کارایی مصرف‌شان از ظرفیت هواپیما، هزینه عملیاتی کل و کل دارایی‌های غیرپرواز را برای تولید درآمد مسافری و غیرمسافری ارزیابی

کرد. از آنجایی که صنعت خطوط هوایی اثرات زیست محیطی را پذیرفته است، کاربردهای تحقیقاتی DEA به موضوع اثرات زیست

1-Onkila

2-Cui

3-Li

4-Data Envelopment Analysis (DEA)

5-Decision Making Units (DMUs)

6-Sengupta

7-Merket

8-Hensher

محیطی مرتبط با هوانوردی نیز گسترش یافته است. کوی و لی (۲۰۱۶) از یک مدل چند مرحله‌ای DEA برای ارزیابی کارایی خطوط هوایی با توجه به کاهش دی‌اکسیدکربن استفاده کردند. این مطالعه تحقیقاتی یکی از نمونه‌های متعدد در سال‌های اخیر در بررسی کارایی خطوط هوایی و ارتباط آن‌ها با اثرات زیست‌محیطی هوانوردی است. با این حال، در ارزیابی کارآیی سوخت یا کارآیی انرژی برای خطوط هوایی در مقالات فوق خروجی نامطلوب در نظر گرفته نشده است. در برخی مقالات موجود در رابطه با کارآیی انرژی مانند وی و همکاران (۲۰۰۷)، ژو و آنگ (۲۰۰۸)، ماندا (۲۰۱۰) و تائو و همکاران (۲۰۱۲) خروجی نامطلوب اصلی میزان انتشار CO_2 می‌باشد.

اگرچه خطوط هوایی تنها چیزی حدود ۲,۵ درصد از انتشار CO_2 جهانی را تشکیل می‌دهند، محدودیت اعمال شده توسط اتحادیه اروپا بر انتشار کربن خطوط هوایی توجه بسیاری از خطوط هوایی را به خود جلب کرده است (ساینی، ۲۰۱۸).

در واقع، چندین موضوع مختلف توسط مطالعات تحقیقاتی خطوط هوایی مبتنی بر DEA در کشورها یا مناطق مختلف مورد بررسی قرار گرفته است. علاوه بر رتبه‌بندی کارایی و مقایسه‌های شان، می‌توان اشاره نمود که به عنوان مثال تأثیر اندازه شبکه، مالکیت و اقدامات ناظارتی بر عملکرد صنعت هوایی با رگرسیون امتیازات کارایی بر روی متغیرهای زمینه‌ای یا محیطی مورد بررسی قرار گرفته است. (باروس و همکاران، ۲۰۱۳؛ باروس و وانک، ۲۰۱۵؛ کاثو و همکاران، ۲۰۱۵؛ لی و کوی، ۲۰۱۵؛ کوی و لی، ۲۰۱۷؛ ژانگ و همکاران، ۲۰۱۷). خوانندگان می‌توانند برای بررسی ادبیات جامع در مورد این موضوع، به این نویسنده‌گان مراجعه کنند.

با این حال، توجه به این نکته مهم است که به تازگی تمرکز بر کارآیی انرژی/سوخت خطوط هوایی افزایش یافته است، هر چند برخورده انتشار CO_2 به عنوان یک خروجی نامطلوب هنوز کمیاب است (کوی و لی، ۲۰۱۴؛ کوی و همکاران، ۲۰۱۴؛ کوی و لی، ۲۰۱۵؛ ژو و همکاران (۲۰۱۴) از رویکردهای مرزی مبتنی بر نسبت، قطعی و تصادفی، برای بررسی کارایی سوخت ۱۵ اپراتور جت بزرگ در ایالات متحده استفاده کرد. نتایج نشان داد که صرفه جویی در هزینه خطوط هوایی اصلی می‌تواند در سال ۲۰۱۰ به حدود ۱ میلیارد دلار برسد. کوی و لی (۲۰۱۵) از یک VFB-DEA برای اندازه گیری بازده انرژی ۱۱ شرکت هوایی از سال ۲۰۰۸ تا ۲۰۱۲ استفاده کردند، و سپس، آنها از یک مدل اندازه گیری مبتنی بر اپسیلون پویا برای ارزیابی کارایی دینامیک ۱۹ شرکت هوایی بین المللی بزرگ از سال ۲۰۰۹ تا ۲۰۱۴ استفاده کردند. آن‌ها دریافتند که بحران مالی جهانی که در سال ۲۰۰۸ آغاز شد تأثیرات منفی قبل توجهی بر کارایی انرژی خطوط هوایی داشت.

در بیشتر مقالات، کارایی انرژی برای منعکس کردن رابطه بین خروجی‌ها و ورودی‌ها تعریف شده است. بر اساس تعریف کلی پاترسون (۱۹۹۶) از کارآیی انرژی به استفاده از انرژی کمتر برای تولید همان مقدار خدمات یا خروجی‌های مفید اشاره دارد و کارایی انرژی شرکت‌های هوایپمایی را بر اساس تعریف اولیه، انتشار CO_2 در نظر گرفته است.

از سویی، علاوه بر مهم‌ترین گاز گلخانه‌ای ساخته‌ی دست بشر یعنی دی‌اکسید کربن (CO_2)، گازهای گلخانه‌ای دیگری مانند متان یا اکسید نیتروژن نیز وجود دارد. گازهای مختلف به یک اندازه در اثر گلخانه‌ای نقش ندارند و برای دوره‌های زمانی مختلف در جو باقی می‌مانند. به منظور مقایسه اثرات گازهای گلخانه‌ای مختلف، کمیته بین‌المللی تغییرات آب و هوایی سازمان ملل متحد اصطلاح «پتانسیل گرمایش جهانی^۱ (GWP)» را تعریف کرده است. این شاخص اثر گرم شدن زمین بر اثر مقدار معینی از گازهای گلخانه‌ای را در یک دوره زمانی معین (معمولًاً ۱۰۰ سال) در مقایسه با CO_2 بیان می‌کند. به عنوان مثال، تأثیر متان بر آب و هوایی ۲۵ برابر شدیدتر از CO_2 است، اما به مدت طولانی در جو باقی نمی‌ماند. به طور معمول، انتشار گازهای گلخانه‌ای در واحدهای معادل دی‌اکسید کربن^۲ (CO_2e) گزارش می‌شود. گازها با ضرب در GWP به CO_2e تبدیل می‌شوند. بدین منظور کمیته بین‌المللی تغییرات آب و هوایی، GWP مربوط به گازهای گلخانه‌ای حاصل از سوخت هوایپما را محاسبه نموده که در جدول ۱ آورده شده است.^۳

جدول ۱. ضرایب GWP برای گازهای معادل CO_2

پتانسیل گرمایش جهانی (در ۱۰۰ سال)	فرمول شیمیایی	نام
۱	CO_2	دی‌اکسید کربن
۲۵	CH_4	متان
۲۹۸	N_2O	اکسید نیتروژن

همچنین IPCC، میزان انتشار سالانه CO_2 ، CH_4 و N_2O از منابع احتراق سوخت در حالت پرواز هوایپما بر حسب تن متریک را محاسبه نموده است. این مقادیر در جدول ۲ نمایش داده شده‌اند.

1- global warming potential

2- carbon dioxide equivalent (CO_2e)

3- Intergovernmental Panel on Climate Change (IPCC), Fourth Assessment Report (AR4), 2007. See the source note to Table 11 for further explanation.

ارزیابی کارایی شرکت‌های هوایی با هدف کاهش پتانسیل گرمایش جهانی با روش تحلیل پوششی داده‌های دومرحله‌ای استوار با خروجی نامطلوب

جدول ۲. میزان تولید واحدهای معادل دی‌اکسیدکربن در احتراف در حال پرواز هوایما

واحد	N ₂ O (گرم/واحد)	CH ₄ (گرم/واحد)	CO ₂ (کیلوگرم / واحد)	نوع وسیله نقلیه
مسافر-مایل	۰,۰۰۰۶	۰,۰۰۶۴	۰,۲۰۷	سفر هوایی - مسافت کوتاه (< ۳۰۰ مایل)
مسافر-مایل	۰,۰۰۴۱	۰,۰۰۰۶	۰,۱۲۹	سفر هوایی - مسافت متوسط (= ۳۰۰ مایل، > ۲۳۰ مایل)
مسافر-مایل	۰,۰۰۵۲	۰,۰۰۰۶	۰,۱۳۶	سفر هوایی - مسافت طولانی (= ۲۳۰ مایل)

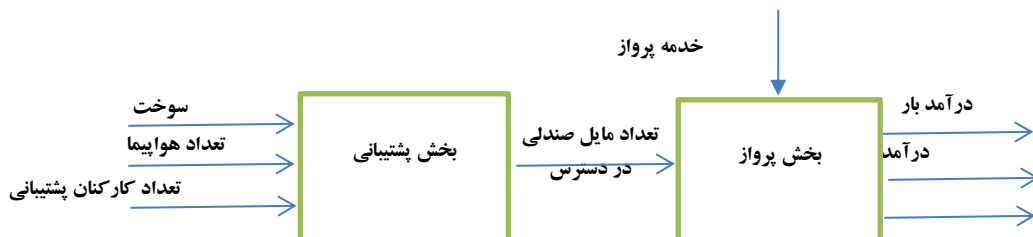
تحقیقات کمی در مورد تاثیر خطوط هوایی در گرمایش زمین انجام شده است و بیشتر مطالعات تنها بر میزان تولید دی‌اکسیدکربن در خطوط هوایی تمرکز دارند. از سوی دیگر مقدار تولید CO₂ در تمام پروازها ثابت و برابر در نظر گرفته شده‌اند، در حالی که همان‌طور که از جدول ۲ ملاحظه می‌شود میزان تولید گازهای آلاینده در هوایماهای با ابعاد مختلف، متفاوت می‌باشد. در نتیجه نادیده گرفتن سایر آلاینده‌های حاصله در گرمایش جهانی، ارزیابی کارایی را دچار خطا نموده است. علاوه‌بر این، ثابت فرض نمودن این مقادیر، عدم قطعیت موجود در داده‌ها را نادیده می‌گیرد که می‌تواند منجر به جواب‌های نشدنی گردد.

این مقاله به صوت مبتکرانه یک چارچوب نظری را پیشنهاد می‌کند که شامل حمل و نقل مسافر و بار با خطوط هوایی با لحاظ نمودن پتانسیل گرمایش جهانی به عنوان یک خروجی نامطلوب می‌باشد. این روش محاسبه کارایی می‌تواند به شناسایی دلایل واقعی ناکارایی و به دست آوردن برآورد دقیق‌تر کارایی کمک نماید. این مقاله یک مدل NDEA سری با خروجی نامطلوب غیرقطعی برای تحلیل کارایی زیست محیطی خطوط هوایی پیشنهاد می‌کند که می‌تواند کارایی کلی و کارایی زیرسیستم‌ها را محاسبه کند. در نهایت مطالعه موردی ما نشان می‌دهد که مدل پیشنهادی چگونه کار می‌کند و یافته‌های کلیدی را ارائه می‌کند که برای تصمیم گیرندگان مفید است.

روش شناسی

این پژوهش از نظر جهت‌گیری پژوهش، در زمرة مطالعات بنیادی است. از بعد روش‌شناسی، پژوهش حاضر از نوع کمی است. روش کمی گردآوری اطلاعات از نوع استفاده از اطلاعات موجود بوده و از این دیدگاه پژوهش در زمرة مطالعات موردی حساب می‌شود که هدف کاربردی آن بررسی عملکرد شرکت‌های هوایی با هدف افزایش درآمدهای شرکت و کاهش تاثیر آن بر آلودگی زیست‌محیطی است. در این تحقیق با تحلیل دقیق ادبیات موضوع و مطالعه داده‌های شرکت‌ها، مدل مفهومی مساله طرح‌ریزی شده و اطلاعات مورد نیاز از طریق پایگاه داده‌های آنلاین اداره حمل و نقل ایالات متحده جمع آوری شده است.

در پژوهش کنونی، به منظور تحلیل مضمون از مدل تحلیل پوششی داده‌های شبکه‌ای کائو و هوانگ و رویکرد استوار سازی برتسیماس و سیم استفاده شده است. تحلیل پوششی داده‌ها در حال حاضر به طور گسترده برای محاسبه کارایی زیست محیطی در صنعت هوانوردی استفاده می‌شود. هنگام در نظر گرفتن خروجی‌های نامطلوب، مجموعه تولید به صورت زیر است:



شکل ۱- نمودار مفهومی سیستم شبکه‌ای خطوط هوایی

$$T = \{(X, Y, Z) : X \text{ can produce } (Y, Z)\} \quad (1)$$

در معادله (۱)، $Y = \{y_{nk}\}^{N \times K}$ مخفف ماتریس ورودی ها، $X = \{x_{mk}\}^{M \times K}$ مخفف ماتریس خروجی‌های نامطلوب و

$Z = \{z_{lk}\}^{L \times K}$ مخفف ماتریس خروجی نامطلوب است. K تعداد DMU ها و M, N, L به ترتیب تعداد ورودی‌ها، خروجی‌های نامطلوب و خروجی نامطلوب را نشان می‌دهد.

یکی از راه‌های رایج برای مدیریت خروجی‌های نامطلوب، روش دور ریختنی قوی است که به ظرفیت محیط برای رسیدگی به مقدار از پیش تعیین شده خروجی‌های نامطلوب اعتقاد دارد. یعنی خروجی‌های نامطلوب به عنوان ورودی و ورودی‌های نامطلوب به عنوان خروجی تلقی می‌شوند. تمام روش‌ها در مقالات دانشگاهی مورد مطالعه قرار گرفته‌اند، در حالی که نتایج حاصل از کوی و همکاران (۲۰۱۸) نشان می‌دهد که دور ریختنی قوی در هنگام برخورد با خروجی‌های نامطلوب معقول‌تر است. بنابراین، ما یک مدل NDEA استوار با قابلیت دور ریختنی قوی معرفی می‌کنیم تا کارایی یک سیستم سری را به طور منطقی مقایسه کنیم.

فرمول‌سازی مساله: مدل اندازه‌گیری کارایی، امتیازهای کارایی را برای هر شرکت هوایی مسافربری ایجاد می‌کند و به دنبال منابع ناکارآمدی است. بر اساس تحقیقات آکادمیک قبلی و روند عملیات روزانه شرکت‌های هوایی می‌باشد، ورودی‌ها و خروجی‌های خطوط هوایی را انتخاب کرده و یک سیستم جدید برای ساختار داخلی خطوط هوایی می‌سازیم. مدل کارایی خطوط هوایی شامل شبکه‌ای از دو مرحله با چهار ورودی، سه خروجی و یک محصول میانی است. شکل ۱ مدل بازده عملیاتی خطوط هوایی را به همراه شاخص‌های عملکردی مهم نشان می‌دهد.

مرحله اول یا مرحله پشتیبانی از ورودی‌های سوخت، تعداد هوایی و تعداد کارکنان برای تولید متغیر میانی مایل صندلی موجود^۱ (ASM) استفاده می‌کند. ASM به عنوان حاصل ضرب مایل هوایی‌های موجود برای مسافرت بین مقاصد و تعداد صندلی‌های موجود برای خدمات درآمد مسافری بین مقاصد تعریف می‌شود (اداره آمار حمل و نقل، ۱۳۹۲). ASM نشان دهنده ظرفیت عرضه یک شرکت هوایی است. مرحله اول شاخص کارایی شرکت هوایی را نشان می‌دهد. ASM هم خروجی از مرحله اول و هم ورودی مرحله دوم است. بنابراین، ASM یک محصول میانی در مدل است که مراحل اول و دوم را به هم متصل می‌کند.

مرحله دوم یا مرحله پرواز، ASM را مصرف می‌کند تا خروجی‌های میزان بار، تعداد مسافر و میزان انتشار CO_2e را تولید کند. میزان بار حمل شده و تعداد مسافر جایجا شده، خروجی‌های مطلوب شرکت هوایی می‌باشد و لذا بدنبال افزایش آن هستیم ولی میزان انتشار CO_2e خروجی نامطلوب است و می‌بایست آن را کاهش داد. مدل پیشنهادی صرفاً بر اندازه‌گیری کارایی عملیات خطوط هوایی داخلی ایالات متحده با درنظر گرفتن کاهش آلودگی هوا و کمک به مدیران برای بهبود عملکرد عملیاتی متوجه است. از این‌رو، مدل فقط کمیت‌های مربوط به عملیات را در نظر می‌گیرد.

مدل کارایی خطوط هوایی شامل دو مرحله، چهار ورودی، سه خروجی و یک محصول میانی است. برای دستیابی به راندمان بهینه، بدینهی است که ورودی‌ها (سوخت، تعداد کارکنان پشتیبانی و تعداد خدمه پرواز) باید کاهش و خروجی‌های مطلوب (درآمد بار، درآمد مسافر) افزایش و خروجی نامطلوب (میزان انتشار CO_2e) نیز کاهش باید. با این حال، محصول میانی (ASM) به عنوان ورودی و خروجی رفتار می‌کند و انتخاب جهت‌گیری آن مشخص نیست. بنابراین، مدیران خطوط هوایی باید به دنبال یافتن سطوح بهینه ASM باشند تا هزینه‌ها را کاهش یا درآمد را افزایش دهند. متغیرهای مساله به شرح زیر تعریف می‌شوند:

- سوخت: کل سوخت مصرفی بر حسب میلیون گالن
- تعداد هوایی: کل ناوگان عملیاتی شرکت می‌باشد که شامل انواع زیر می‌باشد.
- هوایی کوچک باریک: به طور معمول ۱۵۰ صندلی یا کمتر در یک پیکربندی دو کلاسه (به عنوان مثال بوئینگ ۷۳۷، ۷۰۰)

ایرباس A319

1-Available Seat Miles (ASM)

2 -Bureau of Transportation Statistics

○ هواپیمای بزرگ باریک: به طور معمول ۱۵۱ صندلی یا بیشتر با پیکربندی دو کلاس (به عنوان مثال بوئینگ ۷۳۷-۸۰۰ / بوئینگ ۷۵۷،

ایرباس A321 / A320 NEO / A321NEO

○ هواپیمای پهن‌پیکر: پیکربندی دو راهرو

● تعداد کارکنان پشتیبانی: شامل کل کارکنان حوزه مدیریت، حوزه تعمیر و نگهداری داخلی و کارکنان مرتبط با مسافر، بار و جابجایی

هواپیما می‌باشد

● تعداد کارکنان پرواز: شامل کل خلبانان و کمک خلبانان و کل کارکنان خدمه پرواز

● ASM: (مايل_ صندلی موجود) معیار رایج صنعت از خروجی شرکت هواپیمایی که اشاره به یک صندلی هواپیما دارد که یک مايل

پرواز کرده است ، چه اشغال شده باشد یا نشود. هواپیمایی با ۱۰۰ صندلی مسافر ، با مسافت ۱۰۰ مايل پرواز کرده و ۱۰ هزار مايل

صندلی در دسترس ایجاد می کند.

● درآمد مسافر: درآمد دریافت شده توسط شرکت هواپیمایی از حمل و نقل مسافران در عملیات برنامه‌ریزی شده بر حسب میلون دلار.

● درآمد بار: درآمد دریافت شده توسط شرکت هواپیمایی از جابجایی بار در عملیات برنامه‌ریزی شده بر حسب میلون دلار.

● CO_{2e}: علاوه بر مهم‌ترین گاز گلخانه‌ای ساخته‌ی دست‌بشر یعنی دی‌اکسید کربن (CO₂) ، گازهای گلخانه‌ای دیگری مانند متان یا

اکسید نیتروژن نیز وجود دارد. به طور معمول، انتشار گازهای گلخانه‌ای در واحدهای معادل دی‌اکسید کربن (CO_{2e}) گزارش می-

شود. میزان انتشار گازها با ضرب در CO_{2e} GWP به تبدیل می‌شوند.

میزان تولید گازهای گلخانه‌ای بسته به اندازه و نوع هواپیما و نیز سن ناوگان متفاوت است، لذا مقدار این متغیر غیر قطعی و به صورت یک

داده استوار بیان خواهد شد ولی سایر داده‌ها قطعی می‌باشند. مقادیر متغیرهای این تحقیق از داده‌های استخراج شده از پرونده‌های شرکت

حمل و نقل هوایی بدست می‌آید که از طریق پایگاه داده‌های آنلاین اداره حمل و نقل (BTS, 2021) در دسترس است.

برای اندازه‌گیری بازده عملیاتی کلی خطوط هوایی، ما مدل DEA خروجی_محور (لوئیس و هیکاران، ۲۰۱۳) را برای مدل شبکه دو مرحله‌ای

خطوط هوایی اعمال می‌کنیم. برای دستیابی به راندمان عملیاتی بهینه، ما تمایل داریم که با حفظ ورودی، خروجی را به طور هم‌زمان

افزایش دهیم. با این حال، هیچ وزن ذهنی نسبی برای ورودی و خروجی وجود ندارد که نشان‌دهنده اهمیت آن‌ها باشد.

در این بخش ابتدا به یادآوری مدل دومرحله‌ای خروجی محور کائو و هوانگ (۲۰۰۸) برای محاسبه کارایی کل و مدل دومرحله‌ای خروجی محور کائو (۲۰۱۴) پرداخته و سپس مدل تغییریافته برای ارائه مدلی جهت ارزیابی کارایی در حضور ورودی‌های میانی، عوامل مطلوب و نامطلوب به طور همزمان استفاده خواهد شد.

در ابتدا مفاهیم پایه‌ای زیر را تعریف می‌کنیم.

$j \in J = \{1, \dots, 11\}$: مجموعه اندیس ۱۱ واحد تصمیم‌گیری

$k \in K = \{1, \dots, 11\}$: اندیس DMU_j تحت ارزیابی

$DMU_j = (x_{ij}, i = 1, 2, 3)$: بردار ورودی‌های خارجی مرحله اول مصرف شده توسط DMU_j

x_j : ورودی خارجی مرحله دوم مصرف شده توسط DMU_j

z_j : خروجی میانی مرحله اول تولید شده توسط DMU_j

$DMU_j = (y_{rj}, r = 1, 2, 3)$: بردار خروجی‌های نهایی آخرین مرحله تولید شده توسط DMU_j

$V = (v_i, i = 1, 2, 3)$: بردار وزن‌های ورودی‌های خارجی اولین مرحله

w : بردار وزن خروجی میانی مرحله اول

$U = (u_r, r = 1, 2, 3)$: بردار وزن‌های خروجی‌های نهایی آخرین مرحله

E_k : کارایی کلی DMU_k

E_k^1 : کارایی مرحله اول DMU_k

E_k^2 : کارایی مرحله دوم DMU_k

امتیاز کارایی کل DMU_k توسط مدل خروجی_محور کائو و هوانگ (۲۰۰۸) به صورت ذیل محاسبه می‌شود:

$$E_k = \max \sum_{r=1}^s u_r y_{rk} \quad (1)$$

$$\text{s.t. } \sum_{i=1}^m v_i x_{ik} = 1$$

$$\sum_{d=1}^D w_d z_{dj} - \sum_{i=1}^m v_i x_{ij} \leq 0, \quad j = 1, \dots, n$$

$$\sum_{r=1}^s u_r y_{rj} - \sum_{d=1}^D w_d z_{dj} \leq 0, \quad j = 1, \dots, n$$

$$u_r \geq 0, \quad v_i \geq 0, \quad r = 1, \dots, s, \quad i = 1, \dots, m$$

$$w_d \geq 0, \quad d = 1, \dots, D.$$

که در آن مولفه x_{ij} مقدار ورودی نام و نیز y_{rj} مقدار خروجی نام از DMU_j خواهد بود. با توجه به افزوده شده متغیر ورودی

مرحله دوم (z_j), مدل DEA دومرحله‌ای (1) به شرح زیر تغییر می‌یابد.

$$\begin{aligned}
 E_k &= \max \sum_{r=1}^s u_r y_{rk} & (2) \\
 s.t. \quad & \sum_{i=1}^r v_i x_{ik} + v^r x_k^r = 1, \quad i = 1, \dots, m \\
 & w^r z_j - \sum_{i=1}^r v_i x_{ij} \leq 0, \quad j = 1, \dots, n \\
 & \sum_{r=1}^s u_r y_{rj} - w^r z_j - v^r x_j^r \leq 0, \quad j = 1, \dots, n \\
 & u_r \geq 0, \quad v_i \geq 0, \quad r = 1, \dots, s, \quad i = 1, \dots, m \\
 & w^r \geq 0, \quad v^r \geq 0.
 \end{aligned}$$

سیستم شکل (۱) علاوه بر استفاده و تولید ورودی‌ها و خروجی‌های مطلوب (میزان سوخت، تعداد هواپیما، تعداد کارکنان پشتیبانی، تعداد

صندلی/مايل در دسترس، تعداد کارکنان پرواز، درآمد مسافر و درآمد بار) به تولید خروجی نامطلوب (میزان انتشار CO₂e) نیز می‌پردازد.

تفکیک کردن مولفه‌های مطلوب و نامطلوب از یکدیگر در بردار خروجی و نیز بررسی تاثیر این عوامل، مساله مهمی است که سبب بهبود روند عملیاتی افزایش سطح کارآیی واحداًها می‌گردد. مدل‌های ارزیابی کننده چنین سیستم‌هایی، باید برای افزایش سطح کارآیی، از میزان تولید خروجی‌های نامطلوب بکاهند. به عبارت دیگر مدل‌های DEA در چنین موقعی باستی رفتار متفاوت با عوامل مطلوب و نامطلوب موجود داشته باشند. در چنین مدل‌هایی با کاهش سطح خروجی‌های نامطلوب به افزایش شاخص کارآیی چنین واحدهایی اقدام می‌نمایند.

حال فرض کنید که در کنار عوامل مطلوب y_{rj}^U و y_{rj}^D عامل نامطلوب y_{rj} نیز ظاهر گردند. در این هنگام ناحیه شدنی مشکل از بردارهایی به فرم $Z_j = (z_j^r)$ و $y_j = (y_{1j}^D, y_{2j}^D, y_{3j}^U)$ ، $X_j = (x_{1j}^D, x_{2j}^D, x_{3j}^D, x_j^r)$ می‌باشد. در مدل (۲) متغیر خروجی سوم (میزان انتشار CO₂e) به عنوان خروجی نامطلوب سیستم به شمار می‌آید، لذا جهت سهولت شناسایی آن را با نماد y_j^U نمایش می-

دهیم.

لذا می‌توان نوشت:

$$\begin{aligned}
 E_k &= \max (u_1 y_{1k}^D + u_2 y_{2k}^D + u_3 y_{3k}^U) & (3) \\
 s.t. \quad & v_1 x_{1k}^D + v_2 x_{2k}^D + v_3 x_{3k}^D + v^r x_k^r = 1 \\
 & w^r z_j - v_1 x_{1j}^D - v_2 x_{2j}^D - v_3 x_{3j}^D \leq 0, \quad j = 1, \dots, n \\
 & u_1 y_{1j}^D + u_2 y_{2j}^D + u_3 y_{3j}^U - w^r z_j - v^r x_j^r \leq 0, \quad j = 1, \dots, n \\
 & w^r \geq 0, \quad u_r \geq 0, \quad v_i \geq 0, \quad r = 1, 2, 3, \quad i = 1, 2, 3.
 \end{aligned}$$

برای تحلیل کارایی در حضور عوامل نامطلوب دو گونه روش پیشنهاد شده است. گونه اول، شامل روش‌هایی است که تخمین کارایی را از طریق اعمال تغییرات مناسب روی مدل انجام می‌دهند و گونه دوم، شامل روش‌هایی می‌باشد که از طریق اعمال تغییرات مناسب در داده‌ها، کارایی را ارزیابی می‌کنند. در این تحقیق ما از گونه اول استفاده می‌کنیم. همان‌گونه که پیشتر اشاره شد در این تحقیق، از روش دور ریختنی قوی استفاده شده است که در آن با خروجی‌های نامطلوب مانند ورودی‌ها رفتار می‌شود و همچنین با ورودی‌های نامطلوب مانند خروجی رفتار می‌شود. در این صورت متغیر درتابع هدف به ضریب منفی و در محدودیت سوم به عنوان متغیر ورودی مرحله سوم خواهد بود. لذا خواهیم داشت:

$$E_k = \max \left(u_{\text{v}} y_{\text{vk}}^D + u_{\text{r}} y_{\text{rk}}^D - u_{\text{r}} y_{\text{rk}}^U \right) \quad (4)$$

$$\text{s.t.} \quad v_{\text{v}} x_{\text{vk}}^D + v_{\text{r}} x_{\text{rk}}^D + v_{\text{r}} x_{\text{rk}}^U + v_{\text{r}} x_{\text{rk}}^{\text{v}} = 1$$

$$w^{\text{v}} z_j^{\text{v}} - v_{\text{v}} x_{\text{vj}}^D - v_{\text{r}} x_{\text{rj}}^D - v_{\text{r}} x_{\text{rj}}^U \leq 0, \quad j = 1, \dots, 11$$

$$u_{\text{v}} y_{\text{vj}}^D + u_{\text{r}} y_{\text{rj}}^D - u_{\text{r}} y_{\text{rj}}^U - w^{\text{v}} z_j^{\text{v}} - v_{\text{r}} x_{\text{rj}}^{\text{v}} \leq 0, \quad j = 1, \dots, 11$$

$$w^{\text{v}} \geq 0, \quad u_{\text{r}} \geq 0, \quad v_i \geq 0, \quad r = 1, 2, 3, \quad i = 1, 2, 3$$

مشاهده می‌شود که مدل (4) در صدد کاهش خروجی‌های نامطلوب و افزایش خروجی‌های مطلوب و همچنین افزایش ورودی‌های نامطلوب و کاهش ورودی‌های مطلوب است.

مدل DEA برای ارزیابی کارایی مرحله اول برای DMU_k بدین صورت می‌باشد: (کانو، ۲۰۱۴)

$$E_k^{\text{v}} = \max \left(w^{\text{v}} z_k^{\text{v}} \right) \quad (5)$$

$$\text{s.t.} \quad v_{\text{v}} x_{\text{vk}}^D + v_{\text{r}} x_{\text{rk}}^D + v_{\text{r}} x_{\text{rk}}^U = 1$$

$$w^{\text{v}} z_k^{\text{v}} - v_{\text{v}} x_{\text{vk}}^D - v_{\text{r}} x_{\text{rk}}^D - v_{\text{r}} x_{\text{rk}}^U \leq 0, \quad j = 1, \dots, 11$$

$$w^{\text{v}} \geq 0, \quad v_i \geq 0, \quad i = 1, 2, 3$$

و به شیوه مشابه مدل DEA برای ارزیابی کارایی مرحله دوم DMU_k نیز به شرح زیر است: (کانو، ۲۰۱۴)

$$E_k^{\text{r}} = \max \left(u_{\text{v}} y_{\text{vk}}^D + u_{\text{r}} y_{\text{rk}}^D - u_{\text{r}} y_{\text{rk}}^U \right) \quad (6)$$

$$\text{s.t.} \quad w^{\text{v}} z_{\text{vk}}^{\text{v}} + v_{\text{r}} x_{\text{rk}}^{\text{v}} = 1$$

$$u_{\text{v}} y_{\text{vj}}^D + u_{\text{r}} y_{\text{rj}}^D - u_{\text{r}} y_{\text{rj}}^U - w^{\text{v}} z_j^{\text{v}} - v_{\text{r}} x_{\text{rj}}^{\text{v}} \leq 0, \quad j = 1, \dots, 11$$

$$w^{\text{v}} \geq 0, \quad u_r \geq 0, \quad r = 1, 2, 3$$

همان‌طور که پیشتر عنوان شد، متغیر خروجی $y_{\tau j}^U$ غیرقطعی می‌باشد. حال اگر فرض می‌کنیم به ازای هر $j \in \{1, \dots, 11\}$

$y_{\tau j}^U$ برآورد پارامتر و $\hat{y}_{\tau j}^U$ میزان انحراف مجاز پارامتر باشد، آن‌گاه با جایگذاری

مقدار $y_{\tau j}^U$ در روابط (۴) مدل (۶) به صورت زیر تبدیل می‌شود.

$$\begin{aligned} E_k &= \max E && (7) \\ \text{s.t. } E &\leq u_{\backslash k} y_{\backslash k}^D + u_{\tau k} y_{\tau k}^D - u_{\tau} (\bar{y}_{\tau k}^U + \eta \hat{y}_{\tau k}^U) \\ v_{\backslash k} x_{\backslash k}^D + v_{\tau k} x_{\tau k}^D + v_{\tau} x_{\tau k}^{\tau} &= 1 \\ w^{\backslash} z_j^{\backslash} - v_{\backslash j} x_{\backslash j}^D - v_{\tau j} x_{\tau j}^D - v_{\tau} x_{\tau j}^{\tau} &\leq 0, \quad j = 1, \dots, 11 \\ u_{\backslash j} y_{\backslash j}^D + u_{\tau j} y_{\tau j}^D - u_{\tau} (\bar{y}_{\tau j}^U + \eta \hat{y}_{\tau j}^U) - w^{\backslash} z_j^{\backslash} - v_{\tau} x_{\tau j}^{\tau} &\leq 0, \quad j = 1, \dots, 11 \\ w^{\backslash} \geq 0, \quad u_r \geq 0, \quad v_i \geq 0, \quad v^{\tau} \geq 0, \quad r = 1, 2, 3, \quad i = 1, 2, 3 & \end{aligned}$$

به منظور داشتن جوابی که به ازای تمام مقادیر $y_{\tau j}^U$ در مدل (7) صدق باید رابطه زیر را داشته باشیم.

$$\begin{aligned} E_k &= \max E && (8) \\ \text{s.t. } E &- u_{\backslash k} y_{\backslash k}^D - u_{\tau k} y_{\tau k}^D + u_{\tau} \bar{y}_{\tau k}^U + \max \eta u_{\tau} \hat{y}_{\tau k}^U \leq 0 \\ v_{\backslash k} x_{\backslash k}^D + v_{\tau k} x_{\tau k}^D + v_{\tau} x_{\tau k}^{\tau} &= 1 \\ w^{\backslash} z_j^{\backslash} - v_{\backslash j} x_{\backslash j}^D - v_{\tau j} x_{\tau j}^D - v_{\tau} x_{\tau j}^{\tau} &\leq 0, \quad j = 1, \dots, 11 \\ u_{\backslash j} y_{\backslash j}^D + u_{\tau j} y_{\tau j}^D - u_{\tau} \bar{y}_{\tau j}^U - \min \eta u_{\tau} \hat{y}_{\tau j}^U - w^{\backslash} z_j^{\backslash} - v_{\tau} x_{\tau j}^{\tau} &\leq 0, \quad j = 1, \dots, 11 \\ w^{\backslash} \geq 0, \quad u_r \geq 0, \quad v_i \geq 0, \quad v^{\tau} \geq 0, \quad r = 1, 2, 3, \quad i = 1, 2, 3 & \end{aligned}$$

با تکنیک استوارسازی برتسیماس، مدل همتای استوار مدل (7) به صورت زیر حاصل می‌شود.

$$\begin{aligned} E_k &= \max E && (9) \\ \text{s.t. } E &- u_{\backslash k} y_{\backslash k}^D - u_{\tau k} y_{\tau k}^D + u_{\tau} \bar{y}_{\tau k}^U + p_k \Gamma_k + q_{\tau k} \leq 0 \\ v_{\backslash k} x_{\backslash k}^D + v_{\tau k} x_{\tau k}^D + v_{\tau} x_{\tau k}^{\tau} &= 1 \\ w^{\backslash} z_j^{\backslash} - v_{\backslash j} x_{\backslash j}^D - v_{\tau j} x_{\tau j}^D - v_{\tau} x_{\tau j}^{\tau} &\leq 0, \quad j = 1, \dots, 11 \\ u_{\backslash j} y_{\backslash j}^D + u_{\tau j} y_{\tau j}^D + u_{\tau} \bar{y}_{\tau j}^U + p_j \Gamma_j + q_{\tau j} - w^{\backslash} z_j^{\backslash} - v_{\tau} x_{\tau j}^{\tau} &\leq 0, \quad j = 1, \dots, 11 \\ p_j \Gamma_j + q_{\tau j} &\geq u_{\tau} \hat{y}_{\tau j}^U \\ w^{\backslash} \geq 0, \quad v^{\tau} \geq 0, & \\ v_i \geq 0, \quad u_r \geq 0, & \quad i = 1, 2, 3, \quad r = 1, 2, 3 \\ p_j \geq 0, \quad q_{\tau j} \geq 0, & \quad j = 1, \dots, 11 \end{aligned}$$

به شیوه مشابه مدل‌های همتای استوار برای مدل‌های محاسبه ارزیابی مرحله اول و دوم، مدل‌های (۵) و (۶)، به صورت زیر به دست می‌آید.

$$E_k^{\circ} = \max E^{\circ} \quad (10)$$

$$\begin{aligned} & s.t. \quad E^{\circ} - w^{\circ} z_j^{\circ} \leq 0 \\ & v_{\circ} x_{\circ k}^D + v_{\circ} x_{\circ k}^D + v_{\circ} x_{\circ k}^D = 1 \\ & w^{\circ} z_j^{\circ} - v_{\circ} x_{\circ j}^D - v_{\circ} x_{\circ j}^D - v_{\circ} x_{\circ j}^D \leq 0, \quad j = 1, \dots, 11 \\ & w^{\circ} \geq 0, v_i \geq 0, \quad i = 1, 2, 3 \end{aligned}$$

و

$$E_k^r = \max E^r \quad (11)$$

$$\begin{aligned} & s.t. \quad E^r - u_{\circ} y_{\circ k}^D - u_{\circ} y_{\circ k}^D + u_{\circ} \bar{y}_{\circ k}^U + p_k \Gamma_k + q_{\circ k} \leq 0 \\ & w^r z_k^r + v^r x_k^r = 1 \\ & u_{\circ} y_{\circ j}^D + u_{\circ} y_{\circ j}^D + u_{\circ} \bar{y}_{\circ j}^U + p_j \Gamma_j + q_{\circ j} - w^r z_j^r - v^r x_j^r \leq 0, \quad j = 1, \dots, 11 \\ & p_j \Gamma_j + q_{\circ j} \geq u_{\circ} \hat{y}_{\circ j}^U \\ & w^r \geq 0, v^r \geq 0, \\ & v_i \geq 0, u_r \geq 0, \quad i = 1, 2, 3 \quad r = 1, 2, 3 \\ & p_j \geq 0, q_{\circ j} \geq 0, \quad j = 1, \dots, 11 \end{aligned}$$

یافته‌ها

این مقاله از داده‌های ۱۰ سال برای تحقیقات تجربی از سال ۲۰۱۰ تا ۲۰۱۹ استفاده می‌کند. به دلیل اهمیت نسبی تجارت حمل و نقل، داده-

های بخش حمل و نقل در برخی از خطوط هوایی ناقص است. پس از فیلتر کردن دقیق، داده‌های تجربی از ۱۱ شرکت هوایی ایالات متحده به شرح زیر به دست آمده است: آمریکن^۱، کانتیننتال^۲، دلتا^۳، ویرجین آمریکا^۴، یونایتد^۵، یو اس ایرولاین^۶، سوپروز^۷، جتبلو^۸، فرونتیر^۹، آلاسکا^{۱۰}، هاوایین^{۱۱}.

داده‌های تعداد کارکنان بخش دفتری، تعداد کارکنان بخش پرواز، تعداد ناوگان هوایی، میزان سوخت، تعداد مایل/صندری در دسترس، میزان درآمد حاصل از حمل مسافر و میزان درآمد حاصل از حمل و نقل بار از گزارش‌های سالانه ۱۱ شرکت هوایی استخراج

1- American

2 -Continental

3-Delta

4-Virgin America

5-United

6-US Airways

7-Southwest

8-JetBlue

9-Frontier

10- Alaska

11-Hawaiian

شده است. داده های مربوط به میزان گرمایش زمین از گزارش های پایداری، محیط زیست و مسئولیت اجتماعی و بر بنای مایل/صندری در دسترس شرکت ها حاصل شده است.

آمار توصیفی ورودی ها و خروجی ها در جدول ۲ ارائه شده است. جدول ۳ مقدار میانگین، انحراف استاندارد، حداقل مقدار و حداکثر مقدار را در بخش حمل و نقل ۱۱ شرکت هوایی نشان می دهد. داده های ASM و درآمد بار دارای تفاوت زیادی هستند که اولی از ۶۰۳۹,۶۸۷ تا ۲۵۳۲۵۴,۵۷۲ متغیر و انحراف استاندارد ۸۵۸۰۴,۳۵۹ است. دامنه دوم از ۵ تا ۱۰۰۲۳ و انحراف استاندارد آن ۳۴۲۵ می باشد.

جدول ۳- آمار توصیفی ورودی ها و خروجی ها در طول سال های ۲۰۱۰ الی ۲۰۱۹

میانگین	مقدار پیشنهادی	مقدار کمینه	انحراف استاندارد
۲۶۱۸۸,۶۲۵	۹۰۳۷۵	۷۷۹	۲۹۸۲۶,۶۰۹
۱۲۱۰,۵۶۴	۳۶۶۶,۳۷۹	۹۷۸,۸۲۶	۱۲۸۵,۰۶۰
۳۱۸,۵۵۵	۹۷۱,۰۹۰	۲۸,۳۵۹	۳۱۱۸۴۳
۸۳۹۵۵,۴۰۴	۲۵۳۲۵۴,۵۷۲	۶۰۳۹,۶۸۷	۸۵۸۰۴,۳۵۹
۱۲۱۶۱,۵۲۱	۳۸۹۰۲	۷۷۲	۱۲۷۵۲,۹۶۶
۹۸۵۸	۳۲۸۴۸	۴۵۸	۱۰۶۹۷
۲۲۴۰	۱۰۰۲۳	۵	۳۴۲۵
۱۴۰۲۰,۰۵۳	۴۲۲۹۳,۵۱۴	۱۰۰۸,۶۲۸	۱۴۲۲۹,۳۲۸
پتانسیل گرمایش (کیلو گرم)	۱۴۰۲۰,۰۵۳	۱۰۰۸,۶۲۸	پتانسیل گرمایش (کیلو گرم)
کارکنان پشتیبانی (نفر)	۲۶۱۸۸,۶۲۵	۹۰۳۷۵	۲۹۸۲۶,۶۰۹
سوخت (میلیون گالن)	۱۲۱۰,۵۶۴	۹۷۸,۸۲۶	۱۲۸۵,۰۶۰
تعداد ناوگان (فروند)	۳۱۸,۵۵۵	۹۷۱,۰۹۰	۳۱۱۸۴۳
ASM	۸۳۹۵۵,۴۰۴	۲۵۳۲۵۴,۵۷۲	۸۵۸۰۴,۳۵۹
کارکنان خدمه پرواز (نفر)	۱۲۱۶۱,۵۲۱	۳۸۹۰۲	۱۲۷۵۲,۹۶۶
درآمد مسافر (میلیون دلار)	۹۸۵۸	۳۲۸۴۸	۱۰۶۹۷
درآمد بار (میلیون دلار)	۲۲۴۰	۱۰۰۲۳	۳۴۲۵

این بدان معناست که حمل و نقل مسافر و بار در خطوط هوایی مختلف دارای سطوح مختلف توسعه است. با این وجود، داده های مساله با واقعیت مطابقت دارند. محدوده انتشار پتانسیل گرمایش زمین از ۴۲۲۹۳,۵ کیلو گرم است و دلیل آن حالات توسعه متنوع خطوط هوایی، تفاوت ASM و نیز اختلاف نوع هوایی های مورد استفاده است. بنا بر این، در نظر گرفتن خروجی های نامطلوب در ارزیابی بهره وری اثرباری از اهمیت بیشتری برخوردار است.

جدول ۴- ضرایب همبستگی ورودی ها و خروجی ها

پتانسیل گرمایش	درآمد بار	درآمد مسافر	کارکنان خدمه پرواز	مایل/صندری در دسترس	تعداد ناوگان	سوخت	کارکنان پشتیبانی	کارکنان پشتیبانی
۰,۹۹۴	۰,۹۲۱	۰,۹۸۹	۰,۹۹۶	۰,۹۹۴	۰,۹۷۲	۰,۹۹۶	۱,۰۰۰	۱,۰۰۰
۰,۹۹۷	۰,۹۱۷	۰,۹۹۴	۰,۹۹۵	۰,۹۹۷	۰,۹۷۶	۱,۰۰۰	۰,۹۹۶	سوخت
۰,۹۸۱	۰,۸۱۸	۰,۹۸۳	۰,۹۸۲	۰,۹۸۱	۱,۰۰۰	۰,۹۷۴	۰,۹۷۲	تعداد ناوگان
۱,۰۰۰	۰,۹۰۳	۰,۹۹۷	۰,۹۹۸	۱,۰۰۰	۰,۹۸۱	۰,۹۹۷	۰,۹۹۴	مایل/صندری در دسترس
۰,۹۹۸	۰,۹۰۲	۰,۹۹۴	۱,۰۰۰	۰,۹۹۸	۰,۹۸۲	۰,۹۹۵	۰,۹۹۶	کارکنان خدمه پرواز
۰,۹۹۷	۰,۸۹۱	۱,۰۰۰	۰,۹۹۴	۰,۹۹۷	۰,۹۸۳	۰,۹۹۴	۰,۹۸۹	درآمد مسافر
۰,۹۰۳	۱,۰۰۰	۰,۹۹۱	۰,۹۰۲	۰,۹۰۳	۰,۸۸۱	۰,۹۱۷	۰,۹۲۱	درآمد بار
۱,۰۰۰	۰,۹۰۳	۰,۹۹۷	۱,۰۰۰	۱,۰۰۰	۰,۹۸۱	۰,۹۹۷	۰,۹۹۴	پتانسیل گرمایش

ارزیابی کارایی شرکت‌های هوایی با هدف کاهش پتانسیل گرمایش جهانی با روش تحلیل پوششی داده‌های دو مرحله‌ای استوار با خروجی نامطلوب

* همه ضرایب همبستگی از نظر آماری در سطح ۱ درصد معنی دار هستند.

جدول ۴ ضرایب همبستگی پرسون این مقاله را بین ورودی‌ها و خروجی‌ها نشان می‌دهد. باز هم، اکثر ضرایب مثبت و نزدیک به ۱ هستند، که نشان دهنده همبستگی قوی بین متغیرهای ورودی و خروجی است. بنابراین، انتخاب شاخص‌ها منطقی است.

کارایی کلی و بخش‌ها

سطح محافظه‌کاری مساله روی ۰,۵ تنظیم شده است. ما از نرم افزار لینگو^۱ نسخه ۱۷ برای محاسبه مدل دو مرحله‌ای شبکه‌ای تحلیل پوششی داده‌های استوار (۹) استفاده می‌کنیم و نتایج در جدول ۵ آورده شده است. سپس از تحلیل پوششی داده‌های استوار (۱۰) و (۱۱) برای محاسبه کارایی مرحله اول و مرحله دوم خطوط هوایی استفاده و نتایج در جدول ۶ و ۷ آورده شده است.

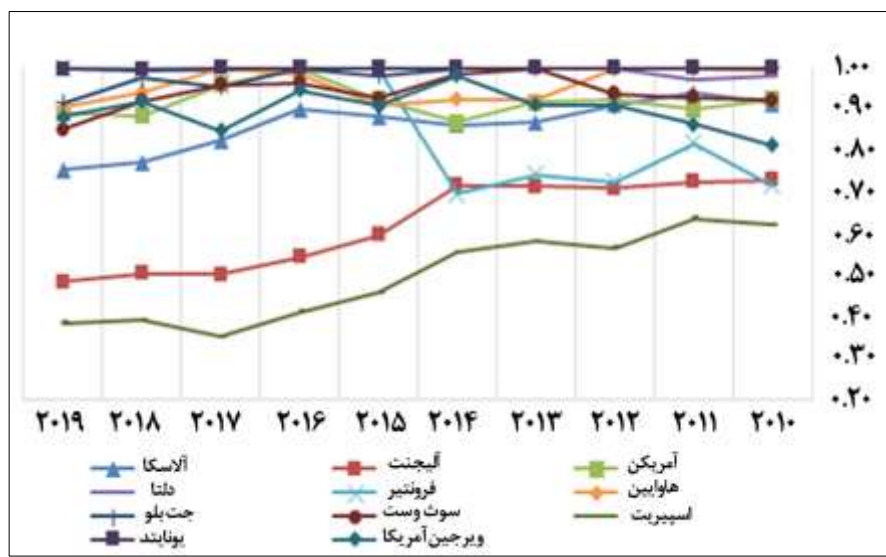
جدول ۵- امتیازات کارایی کل شرکت‌های هوایی ایالات متحده در سال‌های ۲۰۱۰ تا ۲۰۱۹

	۲۰۱۰	۲۰۱۱	۲۰۱۲	۲۰۱۳	۲۰۱۴	۲۰۱۵	۲۰۱۶	۲۰۱۷	۲۰۱۸	۲۰۱۹	میانگین
آمریکن	۰,۹۲۴۰۰	۰,۸۹۹۸۸	۰,۹۲۱۰۰	۰,۹۱۷۳۳	۰,۸۶۸۹۶	۰,۹۲۴۶۹	۰,۹۹۸۰۲	۰,۹۵۹۳۱	۰,۸۷۳۵۶	۰,۸۹۰۴۴	۰,۹۱۸۷۲
دلتا	۰,۹۸۰۳۹	۰,۹۷۰۴۰	۱,۰۰۰۰۰	۱,۰۰۰۰۰	۱,۰۰۰۰۰	۱,۰۰۰۰۰	۱,۰۰۰۰۰	۰,۹۹۲۸۰	۱,۰۰۰۰۰	۱,۰۰۰۰۰	۰,۹۹۴۳۶
يونایتد	۱,۰۰۰۰۰	۱,۰۰۰۰۰	۱,۰۰۰۰۰	۱,۰۰۰۰۰	۱,۰۰۰۰۰	۱,۰۰۰۰۰	۱,۰۰۰۰۰	۰,۹۹۸۵۶	۰,۹۹۷۹۱	۰,۹۹۸۴۳	۰,۹۹۹۴۹
سوث‌وست	۰,۹۲۱۴۴	۰,۹۲۹۷۳	۰,۹۳۶۵۵	۱,۰۰۰۰۰	۰,۹۸۶۲۴	۰,۹۲۵۶۴	۰,۹۶۵۱۹	۰,۹۵۹۱۰	۰,۹۱۹۸۲	۰,۸۵۲۰۶	۰,۹۳۹۵۸
جت‌بلو	۱,۰۰۰۰۰	۱,۰۰۰۰۰	۱,۰۰۰۰۰	۱,۰۰۰۰۰	۱,۰۰۰۰۰	۰,۹۸۱۵۰	۱,۰۰۰۰۰	۰,۹۵۵۶۲	۰,۹۷۵۰۹	۰,۹۱۵۶۶	۰,۹۸۲۷۹
فروتنیر	۰,۷۱۶۹۸	۰,۸۱۸۵۱	۰,۷۲۵۸۹	۰,۷۸۴۴۴	۰,۶۹۵۲۴	۱,۰۰۰۰۰	۱,۰۰۰۰۰	۰,۹۹۷۹۱	۱,۰۰۰۰۰	۰,۶۶۹۸۰	
ویرجین آمریکا	۰,۸۱۲۷۱	۰,۸۶۳۳۶	۰,۹۰۷۸۳	۰,۹۱۰۹۰	۰,۹۸۱۸۸	۰,۹۰۸۰۹	۰,۹۴۵۳۴	۰,۸۴۹۴۲	۰,۹۱۹۸۲	۰,۸۸۱۲۵	۰,۹۸۰۶
آلاسکا	۰,۹۱۳۷۱	۰,۹۴۰۱۰	۰,۹۱۱۱۹	۰,۸۶۸۴۱	۰,۶۱۴۲۸	۰,۸۳۰۵	۰,۹۰۰۵۹	۰,۸۲۴۲۰	۰,۷۷۰۴۵	۰,۷۵۴۴۴	۰,۶۷۱۷۶
هاواین	۰,۹۹۶۲۵	۱,۰۰۰۰۰	۰,۹۹۸۷۴	۰,۹۲۲۹۶	۰,۹۲۴۳۳	۰,۹۱۲۰۴	۰,۹۸۶۰۰	۱,۰۰۰۰۰	۰,۹۴۲۱۶	۰,۹۰۳۳۲	۰,۹۵۸۵۸
اسپریت	۰,۶۲۱۳۶	۰,۶۳۵۵۲	۰,۵۶۵۱۱	۰,۵۸۱۳۴	۰,۵۵۷۷۲	۰,۴۵۶۱۰	۰,۴۰۹۲۰	۰,۳۵۰۸۳	۰,۳۸۹۳۹	۰,۳۸۳۹۱	۰,۴۹۴۶۵
آلیجنت	۰,۷۲۹۱۶	۰,۷۲۴۲۸	۰,۷۰۹۹۵	۰,۷۱۳۳۸	۰,۷۱۶۱۵	۰,۵۹۶۷۵	۰,۵۴۲۷۲	۰,۵۰۰۰۰	۰,۵۰۴۰۵	۰,۴۸۳۴۲	۰,۶۲۱۹۹
میانگین	۰,۷۷۴۱۸	۰,۸۹۹۲۵	۰,۸۷۹۶۶	۰,۸۷۷۹۸	۰,۸۷۱۶۴	۰,۷۱۷۶۲	۰,۸۸۶۱۰	۰,۸۵۳۶۲	۰,۸۴۵۴۷	۰,۸۳۹۰	

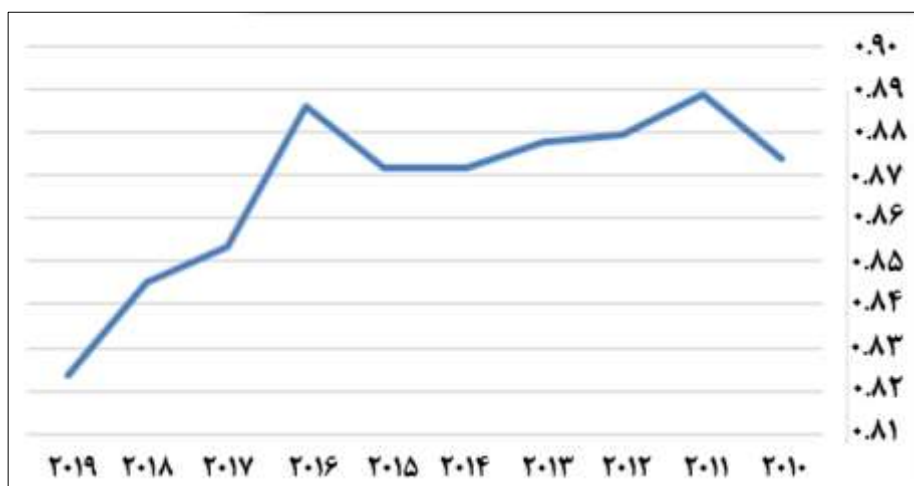
در جدول ۵، ستون‌های ۲ تا ۱۱ امتیازات کارایی کلی شرکت‌های هوایی را بین سال‌های ۲۰۱۰ تا ۲۰۱۹ نشان می‌دهد، در حالی که ستون آخر نشان دهنده میانگین امتیازات کارایی است. بازده سالانه برخی از خطوط هوایی ۱ است که نشان دهنده کارایی آن شرکت هوایی در آن سال است.

با بررسی جدول ۵، می‌توان دریافت که سه شرکت هوایی یونایتد و دلتا با هفت و شرکت جت‌بلو با شش سال امتیاز کارایی کل کامل، بالاترین عملکرد را در بین شرکت‌های مورد نظر داشته‌اند، در حالی که پنج شرکت آمریکن، ویرجین آمریکا، آلاسکا، اسپریت و آلیجنت در هیچ سالی کارآ نبوده‌اند و شرکت‌های اسپریت و آلیجنت دارای پایین‌ترین عملکرد در طی این سال‌ها بوده‌اند. همچنین، با توجه به ستون میانگین امتیازات کارایی کل شرکت‌ها می‌توان دید شرکت یونایتد با میانگین امتیاز ۰,۹۹۹۴۹، بالاترین رتبه را داشته و به دنبال آن به -

ترتیب دلتا، جتبلو، هاوایین، سوت وست، آمریکن، ویرجین آمریکا، فرونتیر، آلاسکا، آلیجن特 قرار دارند و شرکت اسپیریت در رتبه آخر قرار خواهد داشت.



با توجه به نمودار ۱، می‌توان دید که شرکت‌های هوایپیمایی به دو گروه تقسیم می‌شوند، گروه اول شامل ۹ شرکت که دارای کارایی کل به طور نسبی بالایی هستند و گروه دوم شامل دو شرکت اسپیریت و آلیجن特 که همواره در طی این دوره دارای بازده عملکرد پایین می‌باشند. البته شرکت فرونتیر در پنج سال اول دارای بازده عملکرد پایین بوده ولی از سال ۲۰۱۵ عملکرد این شرکت رشد قابل توجهی داشته و این شرکت را از گروه دوم به گروه اول انتقال داده است. حال مساله اصلی یافتن عوامل و دلایل پایین بودن بازده عملکرد دو شرکت اسپیریت و آلیجن特 و ارائه یک الگو جهت بهبود عملکرد تمام شرکت‌ها به خصوص این دو شرکت می‌باشد.



ارزیابی کارایی شرکت‌های هوایی با هدف کاهش پتانسیل گرمایش جهانی با روش تحلیل پوششی داده‌های دومرحله‌ای استوار با خروجی نامطلوب

از سوی دیگر، مطابق جدول ۵ مقدار میانگین سالانه بازده از سال ۲۰۱۰ تا ۲۰۱۹ افزایش و کاهش داشته است اما روندی نزولی را از ۸۷۴۱۸۱۸ در سال ۲۰۱۰ به ۸۲۳۹۰۷۷ در سال ۲۰۱۹ نشان می‌دهد. متساقنه از این منظر، چشم‌انداز توسعه خطوط هوایی خوب نیست. این روند در نمودار ۳ قابل ملاحظه می‌باشد.

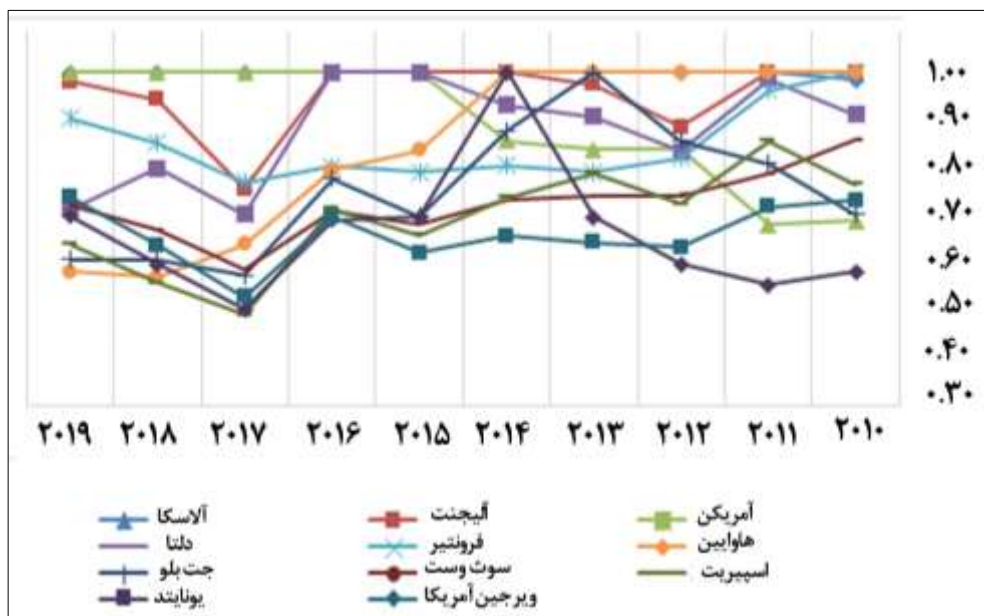
در ادامه جهت تعیین علل ناکارایی شرکت‌ها به محاسبه امتیاز کارایی مرحله اول (بخش پشتیبانی) و مرحله دوم (بخش پرواز) هر شرکت می‌پردازیم. بدین منظور، ابتدا با استفاده از مدل تحلیل پوششی داده‌های استوار (۱۰) امتیاز کارایی بخش پشتیبانی را محاسبه می‌کنیم. در این بخش شرکت‌ها تلاش می‌کنند با استفاده از ورودی‌های میزان سوت مصرفی، تعداد ناوگان هوایی و نیز تعداد کارکنان پشتیبانی، بیشینه تعداد مایل/صنعتی در دسترس را ایجاد نمایند. نتایج این ارزیابی در جدول ۶ آورده شده‌است.

جدول ۶- امتیازات کارایی مرحله اول شرکت‌های هوایی ایالات متحده در سال‌های ۲۰۱۰ الی ۲۰۱۹

	۲۰۱۰	۲۰۱۱	۲۰۱۲	۲۰۱۳	۲۰۱۴	۲۰۱۵	۲۰۱۶	۲۰۱۷	۲۰۱۸	۲۰۱۹	میانگین
هواپیمایی	۰,۹۹۱۲۳	۱,۰۰۰۰	۱,۰۰۰۰	۱,۰۰۰۰	۱,۰۰۰۰	۱,۰۰۰۰	۱,۰۰۰۰	۱,۰۰۰۰	۱,۰۰۰۰	۱,۰۰۰۰	۰,۹۹۹۱۲
اسپیریت	۱,۰۰۰۰	۱,۰۰۰۰	۰,۹۳۴۳۶	۰,۹۸۵۷۷	۱,۰۰۰۰	۱,۰۰۰۰	۰,۸۵۹۷۹	۰,۹۶۷۵۸	۰,۹۸۷۷۴	۰,۹۷۳۶۲	
فروتنیر	۰,۸۲۲۳۷	۰,۸۱۷۵۰	۰,۹۰۷۶	۰,۹۰۸۲۱	۰,۹۱۷۶۳	۱,۰۰۰۰	۱,۰۰۰۰	۱,۰۰۰۰	۱,۰۰۰۰	۱,۰۰۰۰	۰,۹۳۷۲۲
آلasca	۰,۹۴۹۰۰	۰,۹۹۲۱۴	۰,۹۰۵۹۷	۰,۹۷۶۵	۰,۹۶۰۴۲	۱,۰۰۰۰	۱,۰۰۰۰	۰,۸۲۹۳۴	۰,۸۲۷۵	۰,۸۳۶۹۶	۰,۹۳۰۶۲
یونایتد	۱,۰۰۰۰	۰,۹۷۹۰۷	۰,۸۹۸۰۲	۰,۸۰۳۶	۰,۸۸۷۸	۰,۸۱۰۷	۰,۸۸۷۵	۰,۸۶۸۴۴	۰,۹۱۵۹۳	۰,۹۴۴۶۳	۰,۹۱۴۴۱
ویرجین	۱,۰۰۰۰	۱,۰۰۰۰	۱,۰۰۰۰	۱,۰۰۰۰	۱,۰۰۰۰	۰,۹۰۶۸۵	۰,۸۳۰۸	۰,۷۹۳۱۲	۰,۷۵۳۵۹	۰,۷۶۰۷۱	۰,۹۰۹۷۴
سوث‌وست	۰,۸۲۹۸۳	۰,۸۹۱۱۰	۰,۹۱۸۳۸	۱,۰۰۰۰	۰,۹۳۰۰۶	۰,۸۲۷۵۴	۰,۸۷۲۶۵	۰,۷۵۶۴۰	۰,۷۷۴۲۱	۰,۷۷۵۸۴	۰,۸۵۷۶۰
دلتا	۰,۹۱۹۳۸	۰,۸۷۸۶۱	۰,۸۵۲۸۱	۰,۸۵۰۶۶	۰,۸۴۷۷۴	۰,۸۱۸۸۳	۰,۸۳۹۶	۰,۷۶۳۴۰	۰,۸۱۰۳۴	۰,۸۴۰۸۵	۰,۸۱۶۴۴
جت‌بلو	۰,۸۶۵۵۶	۰,۹۱۸۴۶	۰,۸۴۱۶۶	۰,۸۷۹۱۲	۰,۸۵۰۰۹	۰,۸۰۴۷۹	۰,۸۳۶۹۰	۰,۷۰۹۲۴	۰,۷۴۷۵۲	۰,۷۹۳۹۲	۰,۸۲۴۷۳
آلیخت	۰,۷۶۰۴۵	۰,۷۴۴۴۳	۰,۷۶۹۵۰	۰,۸۲۶۰۵	۱,۰۰۰۰	۰,۸۲۶۷۵	۰,۸۲۲۷۰	۰,۷۱۵۰۷	۰,۷۷۰۰۹	۰,۸۲۷۵۷	۰,۸۰۶۴۶
آمریکن	۰,۸۴۶۹۳	۰,۸۳۸۲۸	۰,۷۹۰۲۵	۰,۷۹۵۹۱	۰,۸۰۳۶۵	۰,۷۸۲۸۵	۰,۸۲۵۹۱	۰,۷۳۰۷۷	۰,۷۹۲۱۱	۰,۸۵۰۵۵	۰,۸۰۵۷۲
میانگین	۰,۹۰۷۷۱	۰,۹۱۴۵۱	۰,۸۹۲۵۶	۰,۹۱۵۷۹	۰,۹۲۷۱۲	۰,۸۹۵۴۴	۰,۹۰۵۷۲	۰,۸۲۰۵۱	۰,۸۵۶۰۱	۰,۸۷۴۵۲	

همان‌گونه که در جدول ۶ ملاحظه می‌گردد، مشخص می‌شود که در این بخش پشتیبانی شرکت‌های هواپیمایی با نه سال امتیاز کارایی کامل، بالاترین عملکرد را دارد و شرکت‌های اسپیریت، فروتنیر و ویرجین آمریکا با پنج سال امتیاز کارایی کامل در رده دوم قرار دارند. شرکت آلاسکا با دوسرانه امتیاز کارایی کامل، شرکت‌های یونایتد، سوپریور و آلیخت با یک سال و نیز شرکت‌های آمریکن، دلتا و جت‌بلو بدون امتیاز کامل در طی سال‌های ۲۰۱۰ تا ۲۰۱۹ در انتهای گروه قرار می‌گیرند. با رتبه‌بندی شرکت‌ها براساس میانگین کارایی، جالب است بدانیم که دو شرکت دلتا و یونایتد که در بخش کارایی کل، دارای امتیازات بالای بودند، در این بخش از عملکرد خیلی خوبی برخوردار نیستند و در مقابل شرکت اسپیریت که پایین‌ترین کارایی کل را داشت در این بخش عملکرد بسیار خوبی داشته و توانسته در رتبه دوم قرار گیرد.

با دقت در نمودار ۴ می‌توان دید که با وجود آن که امتیازات کارایی مرحله اول شرکت‌ها در طی این سال‌ها افزایش یا کاهش داشته اما از یک سو این تغییرات در اغلب شرکت‌ها وجود داشته و از سوی دیگر این تغییرات برای همه شرکت‌ها در محدوده تقریباً ثابتی قرار می‌گیرد و کاهش چشمگیری نیز نداشته‌اند. اما نکته قابل تأمل در این بخش این موضع است که امتیاز کارایی مرحله اول شرکت‌ها با وجود اختلاف و کم و زیاد بودن مقادیر میانگین امتیاز کارایی هر شرکت هوایی‌ای در جدول ۶، مقادیر نسبتاً بالایی هستند، که نشان دهنده‌ی تخصیص معقول منابع و بهره‌وری نسبی عملکرد در بخش پشتیبانی شرکت‌ها می‌باشد.



نمودار ۴- امتیاز کارایی مرحله اول شرکت‌های هوایی‌ای ایالات متحده در طی سال‌های ۲۰۱۰ تا ۲۰۱۹

در مرحله بعد با استفاده از مدل تحلیل پوششی داده‌های استوار با متغیر نامطلوب (۱۱) امتیازات کارایی مرحله دوم (بخش پرواز) شرکت‌ها را محاسبه نموده و نتایج در جدول ۶ نمایش داده شده‌است. همان‌گونه که از جدول ۶ ملاحظه می‌شود شرکت یونایتد در طی تمام سال‌های ۲۰۱۰ تا ۲۰۱۹ دارای امتیاز کارایی یک در بخش دوم بوده است. پس از آن شرکت دلتا هشت سال، شرکت جت بلو هفت سال، شرکت سوثرست شش سال، شرکت فرونتیر پنج سال و شرکت‌های هواین و آمریکن سه سال امتیاز کارایی یک در بخش پرواز دریافت کرده‌اند. اما براساس میانگین امتیاز کارایی ده‌ساله شرکت یونایتد با میانگین امتیاز کارایی یک در رتبه اول و شرکت دلتا با میانگین دریافت کرده‌اند. اما براساس میانگین امتیاز کارایی ده‌ساله شرکت یونایتد با میانگین امتیاز کارایی یک در رتبه دوم قرار دارد و به ترتیب شرکت‌های سوثرست، جت بلو، آمریکن، هواین، فرونتیر و آلاسکا قرار گرفته و در انتهای صف شرکت‌های آلیجنت با مقدار میانگین امتیاز کارایی ۰,۹۹۵۵۹ و اسپیرویت با مقدار میانگین ۰,۵۰۶۴۰ قرار دارند.

ارزیابی کارایی شرکت‌های هوایپمایی با هدف کاهش پتانسیل گرمایش جهانی با روش تحلیل پوششی داده‌های دومرحله‌ای استوار با خروجی نامطلوب

جدول ۷- امتیازات کارآیی مرحله دوم شرکت‌های هوایپمایی ایالات متحده در سال‌های ۲۰۱۰ تا ۲۰۱۹

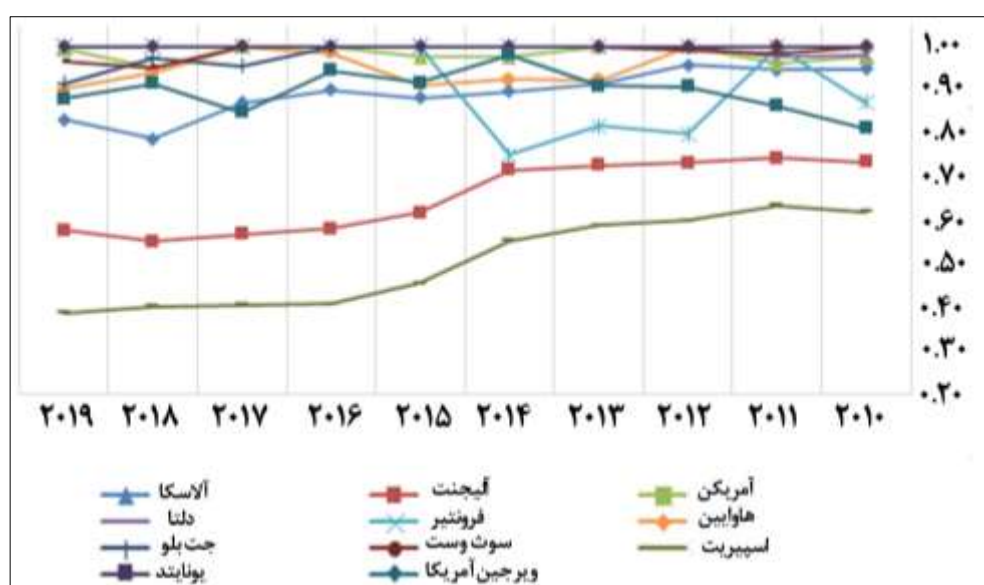
	۲۰۱۰	۲۰۱۱	۲۰۱۲	۲۰۱۳	۲۰۱۴	۲۰۱۵	۲۰۱۶	۲۰۱۷	۲۰۱۸	۲۰۱۹	میانگین
آمریکن	۰,۹۷۷۲۱	۰,۹۶۲۴۵	۱,۰۰۰۰	۱,۰۰۰۰	۰,۹۷۶۰۱	۰,۹۷۶۳۲	۱,۰۰۰۰	۱,۰۰۰۰	۰,۹۵۲۶۵	۰,۹۹۵۲۵	۰,۹۸۳۸۳
دلتا	۰,۹۸۰۱۵	۰,۹۷۶۴۱	۱,۰۰۰۰	۱,۰۰۰۰	۱,۰۰۰۰	۱,۰۰۰۰	۱,۰۰۰۰	۱,۰۰۰۰	۱,۰۰۰۰	۱,۰۰۰۰	۰,۹۹۵۵۹
بونایند	۱,۰۰۰۰	۱,۰۰۰۰	۱,۰۰۰۰	۱,۰۰۰۰	۱,۰۰۰۰	۱,۰۰۰۰	۱,۰۰۰۰	۱,۰۰۰۰	۱,۰۰۰۰	۱,۰۰۰۰	۱,۰۰۰۰
سوث وست	۱,۰۰۰۰	۰,۹۸۴۲۶	۰,۹۹۲۶۵	۱,۰۰۰۰	۱,۰۰۰۰	۱,۰۰۰۰	۱,۰۰۰۰	۱,۰۰۰۰	۰,۹۵۳۴۳	۰,۹۶۸۵۹	۰,۹۸۶۳
جت‌بلو	۱,۰۰۰۰	۱,۰۰۰۰	۱,۰۰۰۰	۱,۰۰۰۰	۱,۰۰۰۰	۱,۰۰۰۰	۱,۰۰۰۰	۰,۹۵۶۳۵	۰,۹۷۵۴۶	۰,۹۱۶۰۲	۰,۹۸۴۶۴
فروتنیر	۰,۷۷۲۶۸	۱,۰۰۰۰	۰,۸۰۰۶۳	۰,۸۱۹۵۳	۰,۷۵۱۸۴	۱,۰۰۰۰	۱,۰۰۰۰	۱,۰۰۰۰	۱,۰۰۰۰	۱,۰۰۰۰	۰,۹۲۴۱۵
ویرجین آمریکا	۰,۸۱۳۹۵	۰,۸۶۳۱۲	۰,۹۰۸۰۵	۰,۹۱۱۸۴	۰,۹۸۲۱۵	۰,۹۱۷۶۵	۰,۹۴۵۳۲	۰,۹۴۹۵۶	۰,۹۱۵۲۶	۰,۸۸۱۴۵	۰,۸۹۸۴۷
الاسکا	۰,۸۱۳۷۵	۰,۹۷۷۱۲	۰,۹۵۷۴۳	۰,۹۱۴۱۶	۰,۸۹۷۷۴	۰,۸۳۴۴	۰,۹۰۱۵۴	۰,۸۷۲۳۱	۰,۷۸۸۲۵	۰,۸۳۳۴۹	۰,۸۹۴۱۴
هاوایین	۱,۰۰۰۰	۱,۰۰۰۰	۰,۹۹۹۷۸	۰,۹۲۳۶۵	۰,۹۲۴۵۱	۰,۹۱۲۳۷	۰,۹۸۶۵۳	۱,۰۰۰۰	۰,۹۴۲۱۵	۰,۹۰۳۷۸	۰,۹۵۸۹۶
اسپیریت	۰,۶۲۱۴۵	۰,۶۳۶۷۵	۰,۶۰۰۳۲	۰,۵۹۰۲۴	۰,۵۵۴۲۶	۰,۴۵۶۸۷	۰,۴۰۹۶۵	۰,۴۰۸۲۵	۰,۴۰۲۱۵	۰,۳۸۸۶۲	۰,۵۰۶۴۰
آلجنست	۰,۷۳۵۲۶	۰,۷۴۴۱۵	۰,۷۳۳۲۴	۰,۷۲۷۴۵	۰,۷۱۶۳۵	۰,۶۱۹۸۷	۰,۵۸۲۴۳	۰,۵۶۹۸۷	۰,۵۵۳۶۴	۰,۵۷۹۳۵	۰,۶۵۵۴۹
میانگین	۰,۹۰۴۳۳	۰,۹۱۹۱۶	۰,۹۰۸۰۵	۰,۸۹۸۴۱	۰,۸۹۰۹۷	۰,۸۷۵۲۱	۰,۸۹۲۹۷	۰,۸۷۷۶۰	۰,۸۶۱۹۴	۰,۸۶۰۲۵	

با نگاهی به نمودار ۵، در می‌یابیم که شرکت‌های مورد بحث از لحاظ امتیازات کارایی مرحله دوم به دو گروه تقسیم می‌شوند، گروه اول،

شامل دو شرکت آلجنست و اسپیریت، دارای مقادیر امتیاز پایین و گروه دوم شامل، سایر شرکت‌های هوایپمایی، مقادیر امتیاز کارایی مرحله

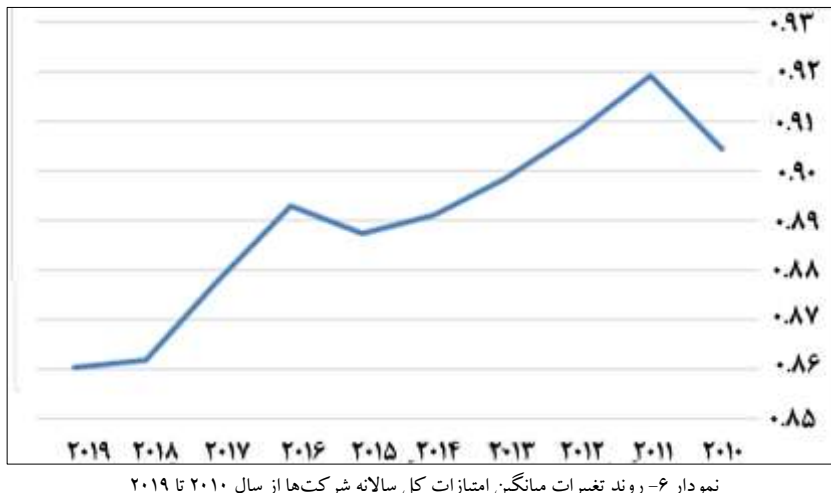
دوم به طور نسبی بالاتری دارند. همچنین شرکت فروتنیر در پنج سال اول به طور کلی دارای امتیازات کارایی پایین‌تر بوده و در گروه اول

قرار می‌گیرند ولی از سال ۲۰۱۵ امتیازات کارایی آن افزایش یافته و به گروه دوم ملحق می‌گردند.



نمودار ۵- امتیاز کارایی مرحله دوم شرکت‌های هوایپمایی ایالات متحده در طی سال‌های ۲۰۱۰ تا ۲۰۱۹

از سوی دیگر، براساس جدول ۷ مقدار میانگین سالانه بازده عملکرد مرحله دوم شرکت‌ها از سال ۲۰۱۰ تا ۲۰۱۹ افزایش و کاهش مداوم داشته است اما در کل یک روند نزولی از ۹۰۴۳۳ در سال ۲۰۱۰ به ۸۶۰۲۵ در سال ۲۰۱۹ را نشان می‌دهد. این روند در نمودار ۶ ملاحظه می‌شود. این بدان معنی است که شرکت‌ها در بخش پرواز که باعث تبدیل مایل/صندلی‌های دردسترس به درآمدهای حاصل از جابجایی مسافر و بار و نیز تولید پتانسیل گرمایش زمین می‌گردد، دچار کاهش عملکرد شده و بهره‌وری آن‌ها کاهش یافته است.



علاوه بر این، می‌دانیم که بازده کلی در جدول ۵ و کارایی بخش پشتیبانی در جدول ۶ در مقایسه با کارایی بخش پرواز در جدول ۷ نسبتاً بالا هستند. این نشان می‌دهد که شرکت‌های هوایی‌پیامی بر توسعه بخش پشتیبانی تمرکز می‌کنند، اما نه بر افزایش بهره‌وری و حل مشکلات ناشی از آلودگی هوا در بخش پرواز. بنابراین، همه خطوط هوایی باید اقدامات کاهش انتشار، تقویت پیشگیری از آلودگی و صرفه‌جویی در انرژی را در نظر بگیرند. در نهایت، تفاوت قابل توجهی در کارایی بین بخش‌های پشتیبانی و پرواز وجود دارد و شرکت‌های هوایی‌پیامی باید توسعه را هماهنگ و متعادل کنند.

بحث و نتیجه‌گیری

این مطالعه توانایی اجرای یک مدل DEA نسبی چندگانه (با استفاده از معماری دو مرحله‌ای و داده‌های غیرقطعی) را نشان می‌دهد. این مدل شامل ساختار کاهش انتشار آلودگی است در عین حال که ساختار تحلیل عملیات تجاری که اجازه می‌دهد مراحل تولید‌ظرفیت و تولید درآمد را جداگانه حفظ کند، در خود جای دهد. تحقیقات موجود محدودی اثرات زیست محیطی یا کاهش انتشار گازهای گلخانه ای را به عنوان خروجی کل عملیات خطوط هوایی در نظر می‌گیرند. ساختار مدل ایجاد شده در این مطالعه به طور خاص کاهش انتشار

گازهای گلخانه‌ای را بخشی از تصمیم‌گیری شرکت در مرحله خروجی‌های نهایی و تولید درآمد می‌کند. بنابراین، فلسفه و طراحی مدل، کاهش انتشار را به یک متغیر تصمیم‌گیری تبدیل می‌کند، نه نتیجه بهینه‌سازی درآمد.

مدل DEA شبکه‌ای دومرحله‌ای در این تحلیل به صورت فلسفی ترکیبی از فلسفه سه مرحله‌ای برای کارایی عملیاتی خطوط هوایی تعریف شده توسط مالیکارجون (۲۰۱۵) با ساختار کارایی عملیاتی محیطی توسعه یافته توسط کوی ولی (۲۰۱۶) ارائه می‌کند. با استفاده از ویژگی‌های دو مرحله‌ای ضربی بکار رفته توسط کائو و هوانگ (۲۰۰۸)، مدل DEA دو مرحله‌ای که برای این مطالعه توسعه یافته است، امکان ارزیابی و مقایسه موفقیت‌آمیز کارایی نسبی بین خطوط هوایی موجود در مطالعه را فراهم می‌کند. این تحقیق کارایی خطوط هوایی را بر حسب تولید درآمد و کاهش آلودگی محیط زیست بررسی می‌کند.

تجزیه و تحلیل نتایج مدل DEA دومرحله‌ای استوار شبکه‌ای در ارتباط با عملکرد خطوط هوایی بر مبنای داده‌های عمومی بیان شده برای دوره مطالعه، اثربخشی مدل را در مقایسه خطوط هوایی برای عملیات تجاری و کاهش محیط‌زیست تأیید می‌کند. مدل‌های متصرک بر استراتژی شبکه و کسب و کار نشان می‌دهند که داشتن مدل‌های تحلیلی شامل تنها خطوط هوایی مشابه می‌تواند به برجسته کردن نقاط قوت و فرصت‌های خاص آن خطوط هوایی کمک کند.

این مقاله تحلیلی از کارایی خطوط هوایی ایالات متحده طی سال‌های ۲۰۱۰–۲۰۱۹، با استفاده از یک مدل DEA شبکه‌ای استوار جدید (RNDEA) برای محاسبه غیرقطعی بودن خروجی‌های نامطلوب مانند پتانسیل گرمایش جهانی ارائه می‌کند. اطلاعات سالانه از ۱۱ شرکت هوایی برای یک دوره ده ساله جمع‌آوری شده است. چندین گونه از مدل DEA شبکه‌ای برای ارزیابی و مقایسه بازده کل خطوط هوایی و ارزیابی مراحل داخلی شبکه در سال‌های مختلف طراحی و اجرا شد.

این مدل پس از برنامه‌ریزی دومرحله‌ای برای سیستم، کارایی کل شرکت‌های هوایی را ارزیابی می‌کند و در ادامه در مرحله اول "بازده بخش پشتیانی" را اندازه‌گیری می‌کند در حالی که "بازده بخش پرواز" را در مرحله دوم تخمین می‌زند. در همین حال، از تکنیک استوارسازی برتسیماس و سیم (۲۰۰۴) برای کنترل اثرات تغییر میزان آلایندگی بر حسب نوع هواییما و طول سفر هنگام محاسبه کارایی خطوط هوایی در مراحل مختلف استفاده شده است. در نهایت، متفاوت از روش سنتی، ما از مدل خطی استوار شبکه‌ای برای بررسی تاثیر متغیرهای زمینه‌ای بر کارایی استفاده شد.

از طریق این مدل‌های نوآورانه و تجزیه و تحلیل تجربی آن‌ها، نتیجه می‌گیرد که اکثر خطوط هوایی ایالات منحده، به جز دو شرکت، به طور نسبی کارا هستند و میانگین امتیاز کارایی کل آن‌ها بالای ۸۰٪ می‌باشد. تنها دو شرکت اسپیریت و آلیجنست دارای میانگین کارایی کل پایین‌تری می‌باشند. از سوی دیگر تمامی ظرکت‌ها در مرحله اول نسبتاً کارا هستند و میانگین امتیاز کارایی بخش پشتیبانی در این شرکت‌ها بالای ۸۰٪ می‌باشد همچنین تمام شرکت‌ها، به جز دو شرکت اسپیریت و آلیجنست، در بخش پرواز دارای میانگین تقریباً ۹۰٪ و بالاتر هستند یعنی خطوط هوایی بخش پشتیبانی نسبتاً کارامدتری نسبت به بخش پرواز دارند. علاوه بر این، در طول دوره ۲۰۱۰-۲۰۱۹، سطح کارایی شرکت‌های مختلف تغییر کمی داشته است. هرچند، کارایی کل نزول آهسته‌ای در طی این دوره نشان می‌دهد. همچنین می‌توان دید که کارایی کل، بیشتر تحت تاثیر کارایی «بخش پرواز» قرار دارد که کارایی این بخش نیز به طور قابل توجهی تحت تأثیر حاکمیت، سن و گستره شبکه می‌باشد.

منابع

- Babikian, R., Lukachko, S.P., Waitz, I.A., 2002. The historical fuel efficiency characteristics of regional aircraft from technological, operational, and cost perspectives. *J. Air Transp. Manag.* 8 (6), 389-400.
- Barros, C.P., Couto, E., 2013. Productivity analysis of European airlines, 2000e2011. *J. Air Transp. Manag.* 31, 11e13.
- Barros, C.P., Liang, Q.B., Peypoch, N., 2013. The technical efficiency of US airlines. *Transp. Res. Part A Policy Pract.* 50, 139e148.
- Barros, C.P., Peypoch, N., 2009. An evaluation of European airlines' operational performance. *Int. J. Prod. Econ.* 122, 525e533.
- Bureau of Transportation Statistics, 2022. *BTS statistical standards manual October 2022*. Research and Innovative Technology Administration, Washington D.C.
- Bureau of Transportation Statistics, 2022b. T-100 Market Data. Research and Innovative Technology Administration, Washington DC.
- Charnes, A., Cooper, W.W., Rhodes, E., 1978. Measuring the efficiency of decision-making units. *Eur. J. Oper. Res.* 2, 429e444.
- Chen, Z., Wanke, P., Antunes, J., Junio M., Zhang, N., 2017. Chinese Airline Efficiency under CO₂ Emissions and Flight Delays: A Stochastic Network DEA Model. *Energy Economics*.
- Choi, K., Lee, D., Olson, D.L., 2013. Service quality and productivity in the US airline industry: a service quality-adjusted DEA model. *Serv. Bus.* 1e24.
- Cui, Q., Li, Y., 2015. An empirical study on the influencing factors of transportation carbon efficiency: evidences from fifteen countries. *Appl. Energy* 141, 209-217.
- Cui, Q., Kuang, H.B., Wu, C.Y., Li, Y., 2014. The changing trend and influencing factors of energy efficiency: the case of nine countries. *Energy* 64, 1026-1034.
- Cui, Q., & Li, Y. (2016). Airline energy efficiency measures considering carbon abatement: A new strategic framework. *Transportation Research Part D: Transport and Environment*, 49, 246-258.
- Forsyth, P.J., Hill, R., Trengove, C., 1986. Measuring airline efficiency. *Fisc. Stud.* 7, 61-81.
- Kao, C., & Hwang, S. (2008). Efficiency decomposition in two-stage data envelopment analysis: An application to non-life insurance companies in Taiwan. *European Journal of Operational Research*, 185(1), 418-429.
- Li, Y., Wang, Y., & Cui, Q. 2015. Evaluating airline efficiency: An application of virtual frontier network SBM. *Transportation Research Part E: Logistics and Transportation Review*, 81, 1-17.
- Li, Y., Huang, Z.C., & Cui, Q. 2022. Exploring the environmental efficiency of airlines through a parallel RAM approach. *Energy Efficiency*, 81, 15-45.
- Mallikarjun, S., Lewis, H.F., Sexton, T.R., (2014). Operational performance of US public rail transit and implications for public policy. *Socio-Econ. Plan. Sci.* 48, 74-88.
- Mallikarjun, S. (2015). Efficiency of U.S. airlines: A strategic operating model. *Journal of Air Transport Management*, 43, 46-56.
- Mandal, S.K., 2010. Do undesirable output and environmental regulation matter in energy efficiency analysis? Evidence from Indian cement industry. *Energy Policy* 38 (10), 6076-6083

- Merkert, R., Hensher, D.A., 2011. The impact of strategic management and fleet planning on airline efficiency random effects Tobit model based on DEA efficiency scores. *Transp. Res. Part A Policy Pract.* 45, 686e695.
- Morrell, P., 2009. The potential for European aviation CO₂ emissions reduction through the use of larger jet aircraft. *J. Air Transp. Manag.* 15, 151-157
- Miyoshi, C., Merkert, R., 2010. Changes in carbon efficiency, unit cost of firms over time and the impacts of the fuel priced an empirical analysis of major European airlines. In: Proceedings of the 14th Air Transport Research Society (ATRS) World Conference, Porto, Portugal
- Patterson, M.G., 1996. What is energy efficiency? Concepts, indicators and methodological issues. *Energy Policy* 24 (5), 377-390.
- Saini, Arun Paul, "Evaluation of Airline Efficiency and Environmental Impacts Using Data Envelopment Analysis" (2018). Dissertations and Theses. 417.
- Sengupta, J. K. (1999). A dynamic efficiency model using data envelopment analysis. *International Journal of Production Economics*, 62(3), 209-218
- Sengupta, J.K., 1999. A dynamic efficiency model using data envelopment analysis. *Int. J. Prod. Econ.* 62, 209e218.
- Tao, F., Li, L., Xia, X.H., 2012. Industry efficiency and total factor productivity growth under resources and environmental constraint in China. *Sci. World J.*
- Zhou, P., Ang, B.W., 2008. Linear programming models for measuring economywide energy efficiency performance. *Energy Policy* 38, 2911-2916
- Zou, B., Elke, M., Hansen, M., Kafle, N., 2014. Evaluating air carrier fuel efficiency in the US airline industry. *Transp. Res. A* 59, 306-330